

PRZEMYSŁAW MAKAROWICZ

## OSADA Z POCZĄTKU INTERSTADIUM EPOK NEOLITU I BRĄZU W SMARGLINIE, WOJ. WŁOCŁAWSKIE, STAN. 53

Prolog wczesnej epoki brązu na Kujawach obfituje w szereg zjawisk kulturowych o szczególnej złożoności, które nie sposób umieścić w ramach tradycyjnie wyróżnianych schematów rozwoju<sup>1</sup>. Zdają się one bowiem odtwarzać skomplikowany układ, w skrajnej wersji przeczący dominującej do niedawna w polskiej literaturze przedmiotu monolinearnej koncepcji zmian kulturowych<sup>2</sup> w interstadium epok neolitu i brązu (INB)<sup>3</sup>. Wspomniane zjawiska pozostawały, z różnych powodów, nade wszystko ograniczeń analitycznych (rodzaj i stan zachowania źródeł) oraz nagminnego kwestionowania przez znaczną część badaczy metodologicznej wartości wiedzy pozaźródłowej — na swoistym marginesie poznawczym. Konfrontacja z „wielkimi problemami” prahistoriografii pośrednio nie stwarzała właściwego klimatu do podejmowania prób rekonstrukcji mało spektakularnych i niewdzięcznych analitycznie fenomenów rejestrowanych w początku epoki brązu.

Prezentowany artykuł, będący fragmentem studiów nad lokalnymi trendami synkretyzacji kultury na przełomie III i II tysiąclecia conv. BC, inauguruje cykl publikacji eksponujących źródłowe uzasadnienie opcji weryfikującej monolinearną wizję rozwoju kulturowego w INB na Kujawach<sup>4</sup>.

Stanowisko 53 w Smarglinie, gm. Dobre, woj. włocławskie ulokowane zostało na terenie wschodniej części niewysokiego płaskowyżu, usytuowanego w środkowej partii zlewni Bachorzy, około 1800 m na poziomie od koryta rzeki i 500 m na północ od bezimiennego ciek — jednego z jej dopływów (ryc. 1).

Dolina Bachorzy, będąca naturalną rynną glacialną rozszerzającą się ku zachodowi, przecina Wysoczyne Kujawską na osi wschód-zachód, przebiegając przez odmienne strefy krajobrazowo-ekologiczne<sup>5</sup>. Stanowisko leży na pograniczu stref terenów czarnoziemnych, ściślej czarnych ziem kujawskich (okalających je od wschodu) i piaszczystych (graniczących od zachodu), zajmując gleby o silnym stopniu zbielocowania. Obszar ten, zwany w literaturze Piaskami Krzywosądkzimi<sup>6</sup>, charakteryzuje się intensywną sedimentacją osadnictwa neolityczno-wczesnobrązowego<sup>7</sup>. Historia badań omawianego terenu zainicjowana została już w początkach lat trzydziestych naszego stulecia<sup>8</sup>.

<sup>1</sup> Na ten temat szerzej A. Koško 1979, 1988; J. Czebreszuk 1988 A, 1988 B.

<sup>2</sup> Np. W. Chmielewski, J. Kostrzewski, K. Jażdżewski 1965; W. Sarnowska 1969, 1975; J. Machnik 1978.

<sup>3</sup> J. Czebreszuk 1987, s. 199.

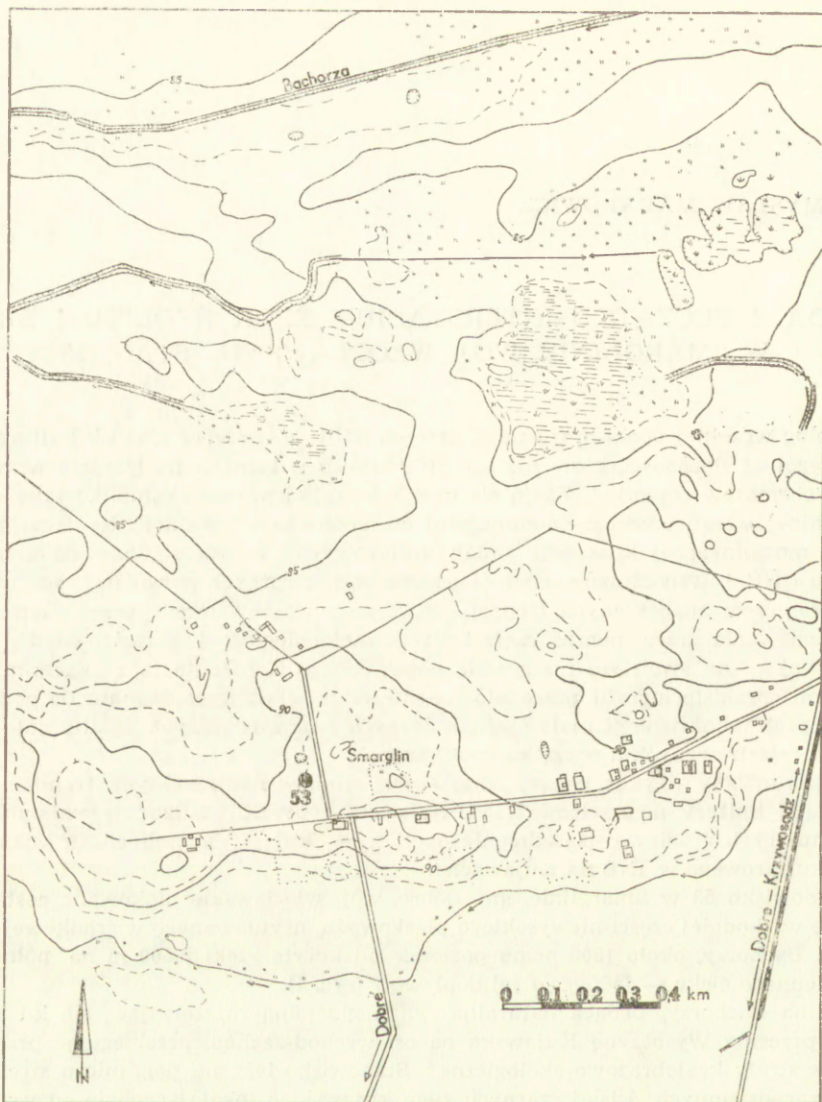
<sup>4</sup> Por. przypis 1.

<sup>5</sup> E. Wiśniewski 1974, s. 270.

<sup>6</sup> J. Czebreszuk, P. Makarowicz 1990, s. 319.

<sup>7</sup> J. Czebreszuk, P. Makarowicz 1990.

<sup>8</sup> K. Jażdżewski 1937.



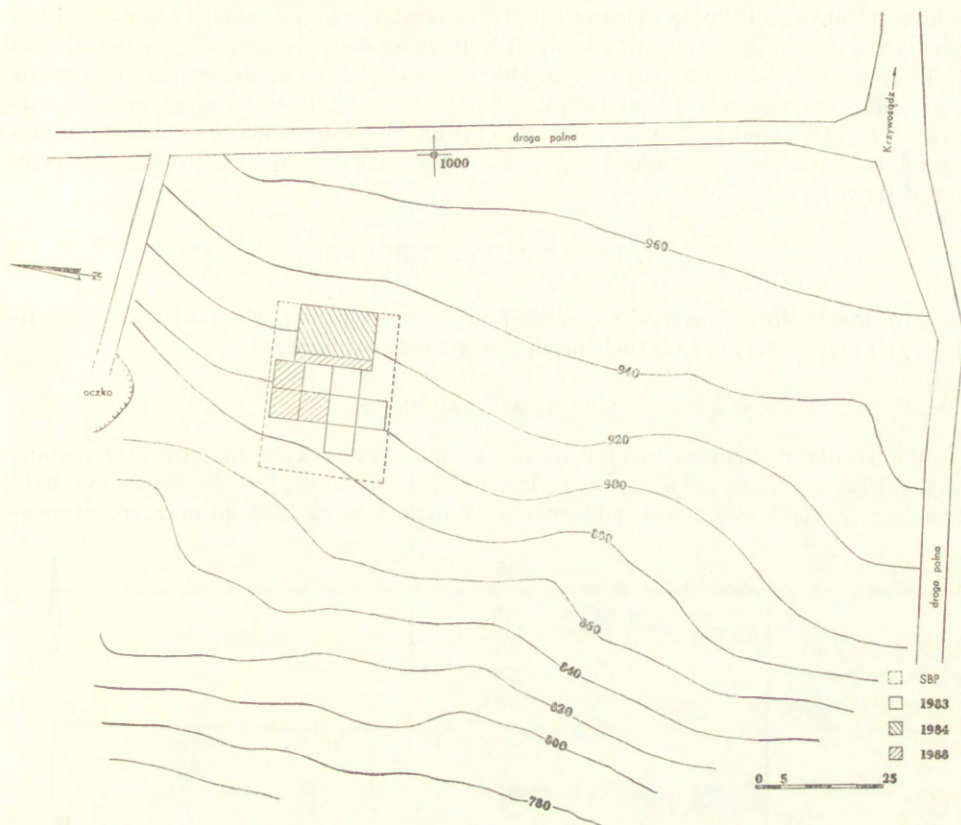
Ryc. 1. Smarglin, gm. Dobre, woj. wrocławskie, stan. 53. Lokalizacja stanowiska w terenie

Fig. 1. Smarglin, Dobre commune, Włocławek province, site 53. Site location

Stanowisko 53 w Smarglinie odkryte w 1982 roku podczas prospekcji powierzchniowej przeprowadzonej w ramach archeologicznego zdjęcia Polski przez Zespół Badań Kujaw Instytutu Prahistorii UAM w Poznaniu. Po dokonaniu szczegółowej inwentaryzacji powierzchniowej (ryc. 2) wiosną 1983 roku, stanowisko zakwalifikowano jako istotne poznawczo dla problematyki badań przełomu epok neolitu i brązu, włączając je do programu prac wykopaliskowych<sup>9</sup>.

<sup>9</sup> Badania prowadził mgr J. Czebreszuk z IP UAM w Poznaniu. Pragnę Mu podziękować za udostępnienie materiałów.





Ryc. 2. Plan sytuacyjno-wysokościowy stanowiska

Fig. 2. Situation and altitude plan of the site

Podczas trzech sezonów (1983, 1984, 1988)<sup>10</sup> zbadano teren o powierzchni 480 m<sup>2</sup> (ryc. 2). Jednostkami eksploracyjnymi były wykopy o wymiarach 6×6 m (8), 16×10 m (1), 16×2 m (1). Ogół źródeł przedmiotowych rejestrowano w skali mezoplanimetrycznej (w kwadratach o boku 2 m) w ramach warstw mechanicznych o miąższości 10 cm, wyróżnionych w obrębie warstw naturalnych: próchnicy współczesnej (Ap) o miąższości od 20 do 30 cm i podglebia (B), o miąższości 20 do 25 cm. Skała macierzysta, zbudowana ze średnioziarnistego żółto-białego piasku, występowała na głębokości od 45–55 cm w głąb. Źródła ruchome z kategorii wydzielonych (głównie charakterystyczne fragmenty ceramiki) lokalizowano punktowo.

Efektem prac terenowych było udokumentowanie pozostałości dwóch punktów osadniczych, znacznie zniszczonych w wyniku intensywnej działalności agrarnej (warunkującej w dużej mierze stan zalegania większości materiału ruchomego w glebie ornej), tj. osady ludności kultury pucharów lejkowatych (KPL) z końca jej II fazy oraz osady z początków INB.

Celem prezentowanego artykułu jest przedstawienie części smarglińskich źródeł — z młodszej fazy osadniczej, oraz próba ich identyfikacji kulturowo-chronologicznej. Obiekt powyższy eksponowano dotychczas na marginesie bardziej ogólnych rozważań w publikacjach: A. Kośko (1988), J. Czebreszuka (1990) oraz J. Czebreszuka i P. Makaro-

<sup>10</sup> Informator Archeologiczny 1984, 1985, 1989.

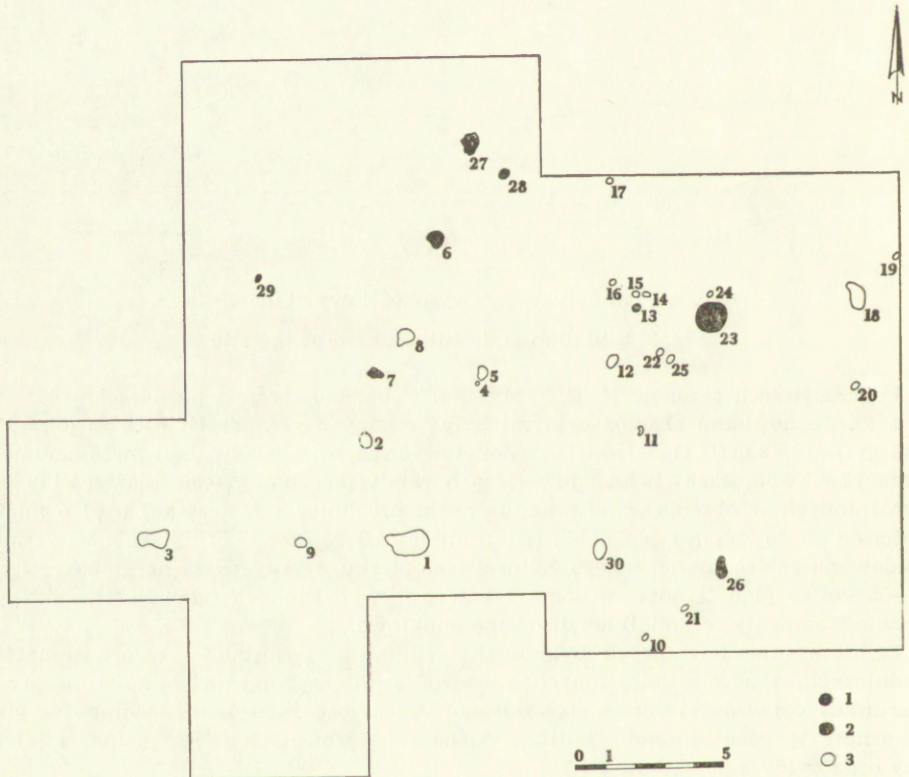
wicza (1990), kwalifikując go jako strukturę synkretyczną, o czytelnych cechach kultury pucharów dzwonowatych (KPDZ) lub (i) kultury grobów jednostkowych (KGJ) oraz kultury amfor kulistych (KAK)<sup>11</sup>. Publikacja materiałów ze Smarglina dyktowana jest więc — w aspekcie ogólniejszym — potrzebą bardziej całościowego opracowania źródeł (przedstawianych dotąd jedynie częściowo), stanowiącego podstawę uwiarygadniająca także wspomnianą hipotezę polilinearną rozwoju kulturowego w rejonie Kujaw.

## I. PREZENTACJA ŹRÓDEŁ

Informacje źródłowe wyeksponowano w dwóch blokach, obejmujących specyfikację (1) nieruchomości i (2) ruchomych pozostałości osadniczych.

### 1. ŹRÓDŁA NIERUCHOME

Na terenie stanowiska zarejestrowano 30 obiektów, z których jedynie 8 zdołano zakwalifikować kulturowo (ryc. 3). Trudności identyfikacyjne spowodowane były brakiem w większości z nich jakiegokolwiek materiału ruchomego oraz zróżnicowa-

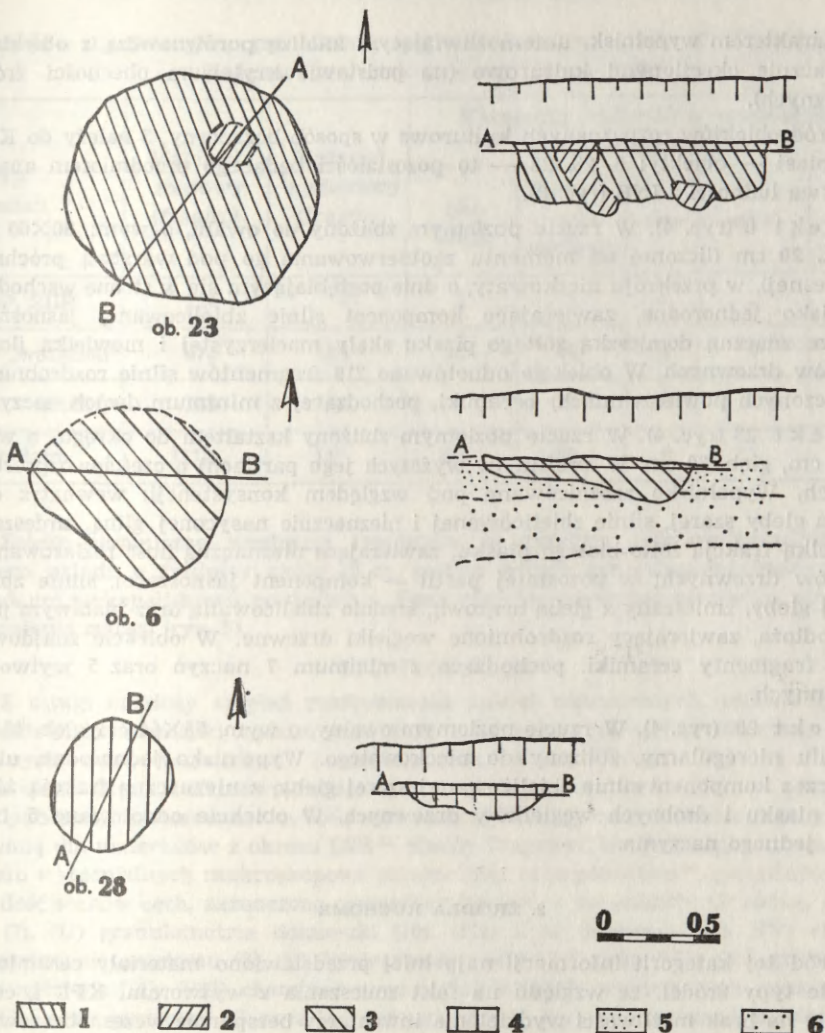


Ryc. 3. Dystrybucja źródeł nieruchomych. 1 — obiekt z INB, 2 — obiekt KPL, 3 — obiekt niezidentyfikowany

Fig. 3. Distribution of immobile sources: 1 — an INB feature, 2 — a feature of the Funnel Beaker culture, 3 — an unidentified feature

<sup>11</sup> J. Czebreszuk, P. Makarowicz 1990, s. 316 i 319.





Ryc. 4. Rzuty poziome i przekroje obiektów z INB:

1 — komponent silnie zbielicowanej jasnoszarej gleby, zmieszany z glebą brązową, średnio zbielicowaną i brunatno-czarną, słabo zbielicowaną oraz niewielką frakcją białego piasku podłoża i węgielków drzewnych, 2 — komponent silnie zbielicowanej szarej gleby, powierzchniowo zglinionej, zmieszany z żółto-białym piaskiem skały macierzystej, z niewielką ilością węgielków drzewnych, 3 — komponent gleby silnie zbielicowanej szarej, ze znacznym udziałem żółtego piasku podłoża i niewielką ilością węgielków drzewnych, 4 — komponent silnie zbielicowanej, jasnoszarej gleby z udziałem niewielkiej frakcji żółto-białego piasku skały macierzystej, 5 — komponent żółto-białego piasku skały macierzystej z udziałem gleby silnie zbielicowanej, jasnoszarej, 6 — komponent białego piasku skały macierzystej z nieznacznym udziałem jasnoszarej gleby, silnie zbielicowanej

Fig. 4. Horizontal projections and cross-sections of the INB features:

1 — a component of strongly podsolized light grey soil, mixed with medium-podsolized brown soil, and with weakly podsolized brown and black soil, and a little fraction of white sand and charcoal, 2 — a component of strongly podsolized grey soil, clayed at the surface, mixed with yellow and white sand of the bed-rock, containing a small amount of charcoal pieces, 3 — a component of strongly podsolized, light grey soil with a little fraction of yellow and white sand of the bed-rock, 4 — a component of strongly podsolized, light grey soil with a little fraction of yellow and white sand of the rock-bed with strongly podsolized light grey soil, 5 — a component of yellow and white sand of the rock-bed with strongly podsolized light grey soil, 6 — a component of white sand of the rock-bed with a small amount of strongly podsolized light grey soil

nym charakterem wypełnisk, uniemożliwiającym analizę porównawczą z obiektami jednoznacznie określonymi kulturowo (na podstawie kryterium obecności źródeł ceramicznych).

Spśród obiektów rozpoznanych kulturowo w sposób bezsporny, 5 należy do KPL, 3 natomiast — obiekty: 6, 23, 28 — to pozostałości będącego przedmiotem analizy osadnictwa ludności z INB (ryc. 3).

Obiekt 6 (ryc. 4). W rzucie poziomym zbliżony do owalu, o wym: 80×60 cm, głęb. ok. 20 cm (liczonej od momentu zaobserwowania go pod warstwą próchnicy współczesnej), w przekroju nieckowaty, o dnie pogłębiającym się w stronę wschodnią. Wypełnisko jednorodne, zawierające komponent silnie zbielicowanej jasnoszarej gleby, ze znaczną domieszką żółtego piasku skały macierzystej i niewielką ilością węgielków drzewnych. W obiekcie odnotowano 219 fragmentów silnie rozdrobnionej (o zniszczonych powierzchniach) ceramiki, pochodzącej z minimum dwóch naczyń.

Obiekt 23 (ryc. 4). W rzucie poziomym zbliżony kształtem do okręgu, o wym. 100×95 cm, głęb. 30 cm. W profilu (w wyższych jego partiach) o częściowo prostych ściankach. Wypełnisko zróżnicowane pod względem konsystencji: wewnątrz dwa skupiska gleby szarej, silnie zbielicowanej i nieznacznie nasyczonej gliną, zmieszanej z niewielką frakcją żółto-białego piasku, zawierające nieznaczny ilość rozlasowanych węgielków drzewnych; w pozostałej partii — komponent jasnoszarej, silnie zbielicowanej gleby, zmieszany z glebą brązową, średnio zbielicowaną oraz białawym piaskiem podłoża, zawierający rozdrobnione węgielki drzewne. W obiekcie znajdowały się 103 fragmenty ceramiki, pochodzące z minimum 7 naczyń oraz 5 wytworów krzemiennych.

Obiekt 28 (ryc. 4). W rzucie poziomym owalny, o wym. 55×44 cm, głęb. 15 cm. W profilu nieregularny, zbliżony do nieckowatego. Wypełnisko jednorodne, utworzone przez komponent silnie zbielicowanej szarej gleby, z nieznaczną frakcją żółto-białego piasku i drobnych węgielków drzewnych. W obiekcie odnotowano 5 fragmentów jednego naczynia.

## 2. ŹRÓDŁA RUCHOME

Spśród tej kategorii informacji najpełniej przedstawiono materiały ceramiczne. Pozostałe typy źródeł, ze względu na fakt mieszanania z wytworami KPL i, co za tym idzie na brak możliwości wydzielenia inwentarzy bezspornie wczesnobrązowych, pominięto (materiał osteologiczny<sup>12</sup>, wyroby kamienne, polepa), bądź scharakteryzowano, jeśli były po temu jakiegokolwiek dane uzasadniające identyfikację kulturową (wyroby krzemienne, materiał paleobotaniczny).

### 2.1. Ceramika

Stanowisko dostarczyło 1229 fragmentów ceramiki wiązanych ogólnie z INB, z czego 63% pochodzi z „warstwy”, 26,6% z obiektów i 10,4% z badań powierzchniowych. Zwrócić uwagę należy na znaczny stopień rozdrobnienia naczyń (wskaźnik rozdrobnienia<sup>13</sup> wynosi: 0,112 „warstwa” i 0,136-objekty) spowodowany permanentną niwelacją stanowiska (prawie 80% ogółu źródeł znajdowało się w warstwie humusu (por. ryc. 7 a). Szczegółowe wiadomości dotyczące frekwencji poszczególnych kategorii ceramiki zaprezentowano w tabeli 1.

<sup>12</sup> Mgr D. Makowiecki z Akademii Rolniczej w Poznaniu zidentyfikował na stanowisku kości: bydła (1 szt.) i owcy (1 szt.).

<sup>13</sup> Iloraz ilości fragmentów i ich wagi.



Tabela 1. Smarglin, gm. Dobrze, woj. włocławskie, stan. 53. Charakterystyka ilościowa materiałów ceramicznych z INB

Typ badań	Materiał masowy (fragm.)	Materiał wydzielony (fragm.)	Kategoria materiałów wydzielonych (fragmenty)				
			zdo- bione	krawę- dzie wylewu	dna	ucha	nóżki
BP, SBP	124	4	2	1	—	1	—
BW „warstwa”	670	104	52	44	6	9	1
obiekty	318	9	5	7	—	1	—
Ogółem	1112	117	59	52	6	11	1

Źródła ceramiczne wystąpiły zasadniczo w układzie jednocentrycznym. Jądro owego układu o średnicy około 12 m, zostało objęte centralno-południową częścią zbadanej wykopaliskowo powierzchni. Poza nim intensywność nasycenia materiałem stopniowo malała (ryc. 5).

### 2.1.1. Technologia

Z uwagi na duży stopień rozdrobnienia źródeł ceramicznych, technologicznemu aspektowi ich analityki nadano priorytetową rangę — tak w formułowaniu bardziej ogólnych ocen, dotyczących homogeniczności zbioru (rozd. II), jak i bliższej jego identyfikacji kulturowo-chronologiczno-genetycznej (rozd. III). W prezentowanej publikacji zastosowano metodę systemowej analizy cech technologicznych, opracowaną dla materiałów z okresu INB<sup>14</sup>. Każdy fragment ceramiki opisano: za pomocą ośmiu wyróżnialnych makroskopowo parametrów szczegółowych<sup>15</sup>, posiadających różną ilość stanów cech, zaznaczoną cyframi arabskimi w nawiasach: (I) rodzaj domieszki (7), (II) granulometria domieszki (10), (III) ilość domieszki (2), (IV) charakter uwarstwienia przełomu (3), (V) domieszka tłuczonych skorup<sup>16</sup> (2), (VI) grubość ścianek naczynia (11), (VII) charakter powierzchni ścianek zewnętrznych naczynia<sup>17</sup> (2), (VIII) barwa przełomu (6) oraz jednego ogólnego<sup>18</sup>, będącego zgeneralizowanym „opisem” wartości parametrów szczegółowych (stanów cech) każdego z fragmentów ceramiki — (IX) frekwencja typów technologicznych II stopnia (ttIIs)<sup>19</sup>. Dane ilościowe o poszczególnych cechach i ich stanach, szerzej wykorzystane w rozdz. II przedstawia tabela 2.

Kierując się powyższymi założeniami, zidentyfikowano w zespole smarglińskim 17 ttIIs, do których zaliczono 974 fragmenty ceramiki, tj. około 79,2% ogólnej liczby. Wyeliminowanie tak znaczącej ilości ceramiki spowodowane było dążeniem do uzyskania maksymalnie precyzyjnych (zintersubiektywizowanych), a więc łatwo weryfikowanych ocen. Zestawienie ilościowe ttIIs zawiera tabela 3.

<sup>14</sup> Tekst wyjściowy: L. Czerniak, A. Koško 1980; por. zwłaszcza J. Czebreszuk 1987; P. Makarowicz 1989.

<sup>15</sup> P. Makarowicz 1989, s. 13—15.

<sup>16</sup> L. Czerniak, A. Koško 1980.

<sup>17</sup> Ilość stanów cech parametru VII zredukowano do dwóch.

<sup>18</sup> Są to „zsumowane” (ucgólnione) stany poszczególnych cech, por. przypis 15.

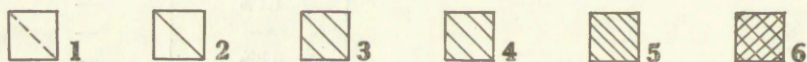
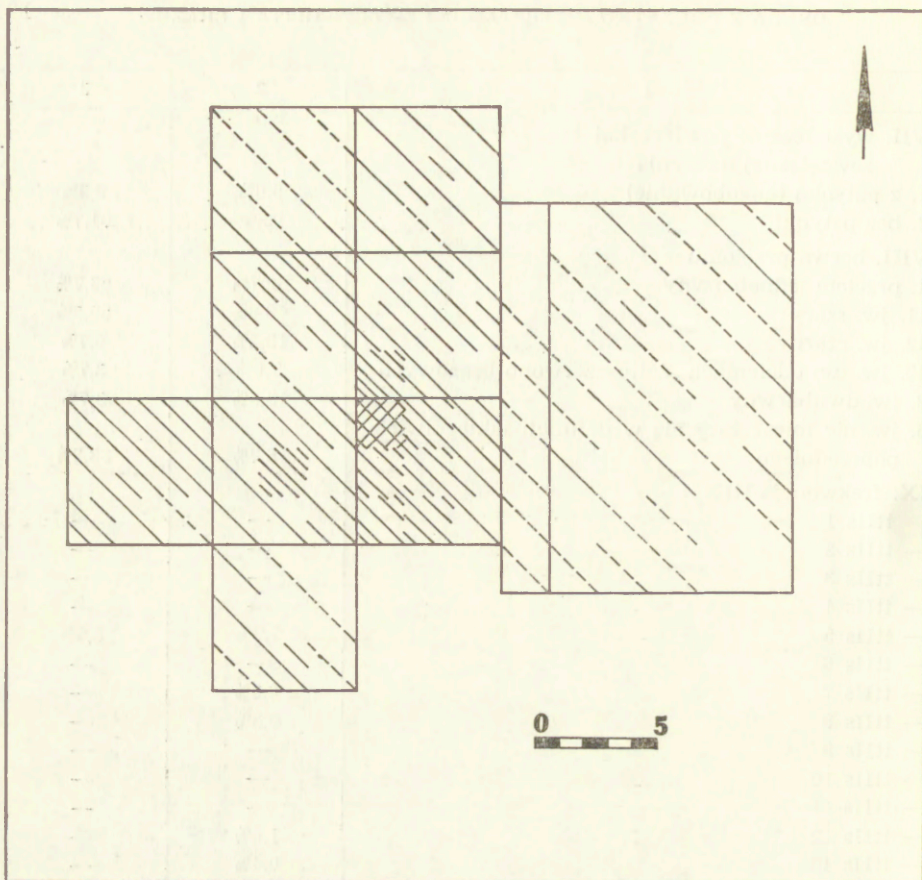
<sup>19</sup> P. Makarowicz 1989, s. 16 n.

Tabela 2. Smarglin, gm. Dobrze, woj. wrocławskie, stan. 53. Specyfikacja stanów cech technologii (parametrów) oraz ich procentowe wartości

Cechy i ich stany	Warstwa	Obiekt 23
1	2	3
<b>I. rodzaj domieszki</b>		
1. organiczna	55,5%	74%
2. mineralna	100%	100%
21. jw. piasku	48,1%	51,9%
22. jw. tłucznia	100%	100%
221. jw. różnobarwnego	76,7%	70,3%
222. jw. białego	18,1%	22,3%
223. jw. różowego	5,2%	7,4%
<b>II. granulometria domieszki</b>		
1. drobna ( $x < 1$ mm)	9,7%	—
2. drobna > średnia	31,2%	14,0%
3. drobna > średnia i gruba	32,2%	37,1%
4. średnia > drobna	4,2%	14,8%
5. średnia ( $1 < x < 2$ mm)	1,0%	—
6. średnia > drobna i gruba	12,4%	11,1%
7. średnia > gruba	—	—
8. gruba > drobna i średnia	8,8%	22,2%
9. gruba > średnia	0,4%	—
10. gruba ( $x > 2$ mm)	0,1%	—
<b>III. ilość domieszki</b>		
1. mała	7,1%	3,7%
2. duża	92,9%	96,3%
<b>IV. charakter uwarstwienia przełomu</b>		
1. jednolity	51,7%	14,8%
2. warstewkowy	47,7%	85,2%
3. gruzelkowy	0,6%	—
<b>V. domieszka szamotu</b>		
1. obecna	12,5%	22,2%
2. nieobecna	87,5%	77,8%
<b>VI. grubość ścianek</b>		
4 mm	2,2%	—
4 mm } 1°	13,4%	13,0%
6 mm } 1°	17,4%	17,5%
7 mm } 2°	24,3%	17,5%
8 mm } 2°	17,3%	21,4%
9 mm } 2°	9,9%	4,3%
10 mm } 3°	7,6%	13,0%
11 mm } 3°	5,1%	13,0%
12 mm } 3°	1,9%	—
13 mm } 3°	0,6%	—
14 mm } 3°	0,3%	—



1	2	3
VII. wykończenie powierzchni zewewnętrznej naczynia		
1. z patynką (angobowanie)	5,0%	8,3%
2. bez patynki	95,0%	91,7%
VIII. barwa przełomu		
1. przełom jednobarwny	69,7%	63,7%
11. jw. szary	48,6%	59,3%
12. jw. czarny	13,2%	0,7%
13. jw. w odcieniach żółto-czerwono-brązowych	7,9%	3,7%
2. jw. dwubarwny	13,6%	3,7%
3. jw. nie mieszczący się w definicji jakiegolwiek poprzedniego	16,7%	33,3%
IX. frekwencja ttIIs		
— ttIIs 1	—	—
— ttIIs 2	—	—
— ttIIs 3	—	—
— ttIIs 4	—	—
— ttIIs 5	7,7%	8,6%
— ttIIs 6	—	—
— ttIIs 7	0,3%	—
— ttIIs 8	0,3%	—
— ttIIs 9	—	—
— ttIIs 10	—	—
— ttIIs 11	—	—
— ttIIs 12	1,0%	—
— ttIIs 13	0,4%	—
— ttIIs 14	0,5%	—
— ttIIs 15	1,1%	—
— ttIIs 16	—	—
— ttIIs 17	0,8%	—
— ttIIs 18	9,4%	4,3%
— ttIIs 19	—	—
— ttIIs 20	—	—
— ttIIs 21	1,6%	—
— ttIIs 22	—	—
— ttIIs 23	8,2%	—
— ttIIs 24	—	—
— ttIIs 25	0,6%	4,4%
— ttIIs 26	—	—
— ttIIs 27	—	—
— ttIIs 28	0,3%	—
— ttIIs 29	17,0%	39,1%
— ttIIs 30	17,8%	8,8%
— ttIIs 31	32,6%	34,8%
— ttIIs 32	—	—
— ttIIs 33	—	—
— ttIIs 34	—	—
— ttIIs 35	0,4%	—



Ryc. 5. Dystrybucja źródeł ceramicznych. 1:1—4 frg., 2:5—9 frg., 3:10—19 frg., 4:20—29 frg., 5:30—39 frg., 6:40 i więcej frg.

Fig. 5. Distribution of the pottery sources. 1: 1—4 sherds, 2: 5—9 sherds, 3: 10—19 sherds, 4: 20—29 sherds, 5: 30—39 sherds, 6: 40 and more sherds

Tabela 3. Smarglin, gm. Dobrze, woj. wrocławskie, stan. 53. Zestawienie ilościowe tIIIs 20

Nr tIIIs	5	7	8	12	13	14	15	17	18	21	23	25	28	29	30	31	35	Ogółem
Warstwa	50	2	2	6	2	3	7	6	60	10	51	5	2	115	113	211	2	647
Obiekt 6	—	—	—	—	—	—	—	—	—	—	—	219	—	—	—	—	—	219
Obiekt 23	2	—	—	—	—	—	—	—	1	—	—	23	—	66	2	9	—	103
Obiekt 28	—	—	—	—	—	—	—	—	—	—	5	—	—	—	—	—	—	5
Ogółem	52	2	2	6	2	3	7	6	61	10	56	247	2	181	115	220	2	974

<sup>20</sup> Sposób wyróżniania oraz definicje tIIIs zawierają prace J. Czebreszuka 1987 i P. Makarowicza 1989.



## 2.12. Zdobnictwo

Specyfikacji cech zdobnictwa dokonano w oparciu o sformalizowany zapis elementów zdobniczych zaproponowany przez A. Koško<sup>21</sup>. Na uwagę zasługuje niska frekwencja odrębnych wątków zdobniczych w zbiorze (4,80%) a także dominacja technik: nacinania-odciskania i plastycznej (ok. 98%). Wykaz wątków zdobniczych przedstawiono w tab. 4.

Tabela 4. Smarglin, gm. Dobrze, woj. wrocławskie, stan. 53. Wykaz wątków zdobniczych w zespole

Strefa zdobnicza	Układ elementów zdobniczych w wątku	Ilość fragmentów z odrębnymi wątkami	Rycina
1	2	3	4
pz	xE-41   xB-18:2	1	8:11
?	xE-51	1	10:5
?	xJ-121 [191] :3   xB-18   xH-96	1	10:4
?	xJ-121	1	8:24
b?	?J-121	1	8:10
b?	xM-180	17	8:22, 23; 9:19; 10:2
pz	xM-180, 231	1	9:17
pz	xM-180, 236	6	8:17; 9:14-16, 18, 21
?	xM-180, 236	1	9:26
pz	xR-231	1	8:14
pz	xR-236	6	8:12; 9:13, 20, 22-25
?		1	9:27
pz	xS-251	2	9:28; 10:7
?	xS-251	1	9:29
?	x?B-00016 <sup>22</sup>	1	8:5
?	x?B-00016   xM-000176	2	9:2,5
?	x?B-00016?   xM-000176:2	4	8:2,3; 9:11, 12
?	x?B-00016?   x?B-00016	1	9:3
?	x?B-00016:2   xM-000176	1	9:7
?	x?B-00016:3   xM-000176:3   x?B-00016?	1	8:1
?	x?B-00016:3?   xM-000176:2    x?B-00016:4   xM-000176	1	8:4
?	xM-000176	2	9:6,9
?	xM-000176:2	2	8:9; 9:1
?	xM-000176   x?B-00016:3   xM-000176	1	9:10
?	xM-000176:3   x?B-00016	1	9:3
?	xM-000176:3   x?B-00016   x?B-00016	1	9:4
Razem		59	

<sup>21</sup> A. Koško 1981, s. 34 n.

<sup>22</sup> Odnośnie zasad zapisu nowo wyróżnionych technik zdobniczych A. Koško 1981, s. 36.

## 2.1.3. Makromorfologia

Szersze udokumentowanie typów naczyń ograniczył stan ich zachowania. Z tego też powodu zrekonstruowano jedynie pojedyncze egzemplarze z trzech grup typologicznych naczyń<sup>23</sup>: amforę, o parametrach  $R_1=11$  cm (ryc. 8:6); wazę kulistodenną, o parametrach  $R_1=28$  cm,  $R_2=22,2$  cm,  $R_3=25,2$  cm,  $H_1=16,1$  cm,  $H_2=5,6$  cm,  $H_3=10,5$  cm,  $H_4=7,0$  cm (ryc. 10:1) i garnek(?), o parametrze  $R_1=32,2$  cm (ryc. 10:7).

## 2.1.4. Mikromorfologia

Rozpatrywany aspekt analityki dotyczy opisu niemierzalnych części naczyń: krawędzi wylewu, uch, nóżek i den. Trzy ostatnie mikroelementy ze względu na ich nieliczność i fragmentaryczność przedstawiono jedynie graficznie ucha — 11 egzemplarzy (ryc. 8:6, 13, 16, 18—20, 26—28, 10:6, nóżki — 1 egzemplarz (ryc. 8:15), dna — 6 egzemplarzy (ryc. 8:29—34).

Krawędzie wylewu scharakteryzowano stosując interkulturową typologię opracowaną przez A. Koško<sup>24</sup> (tab. 5).

Tabela 5. Smarglin, gm. Dobre, woj. wrocławskie, stan. 53. Specyfikacja typów krawędzi

Lp.	Typ krawędzi	Ilość	Rycina (wybór)
1	2	3	4
1.	1a	1	8:7
2.	1k	8	8:25; 9:23, 24?, 28
3.	2c	1	10:8
4.	3k	1	—
5.	9d	2	10:8
6.	9e	1	8:8
7.	10a	1	—
8.	10b	2	9:18
9.	10d	1	—
10.	10e	15	9:22; 10:3,5
11.	11e	1	—
12.	17e	2	8:12
13.	17k	4	9:14, 16;
14.	25e	1	9:21
15.	25i	2	8:17; 9:15
16.	25k	3	9:20; 10:7
17.	49e	3	9:25
18.	57k	2	9:16
Ogółem		52	

## 2.2. Wytwory krzemienne

Stopień poznania krzemieniarstwa przełomu epok neolitu i brązu w strefie Niżu jest nadzwyczaj skromny. W przypadku materiałów struktur synkretycznych z tego okresu można wręcz zastosować pojęcie opcji zerowej, co zważywszy na fakt współwystępowania na badanym stanowisku znacznej puli materiałów KPL (dwukrotnie

<sup>23</sup> A. Koško 1979, s. 41 n.

<sup>24</sup> A. Koško 1981, s. 33.



liczniejszych w skali ceramicznej od źródeł z INB) uniemożliwia praktycznie pozytywną selekcję inwentarzy bezspornie wczesnobrazowych. Ograniczono się zatem wyłącznie do specyfikacji nielicznego materiału krzemienego z obiektów „datowanych” ceramiką, będąc świadomym, że nie jest to wystarczające kryterium identyfikacji kulturowej.

Spośród około 300 wyrobów krzemienych zarejestrowanych w Smarglinie, jedynie 5 egzemplarzy ( w tym dwa okruchy krzemienne zniszczone termicznie) odnotowano w obiekcie 23 należącym do schyłkowoneolityczno-wczesnobrazowego etapu zasiedlenia stanowiska <sup>25</sup>. Są to:

- fragment mikrorodzienia wiórowego, z wąską odłupnią, wykonany z surowca bałtyckiego (ryc. 10:9),
- wiór z surowca czekoladowego, użytkowany jako łuszczeń i wkładka tnąca z różnymi śladami wyświeceń (ryc. 10:10),
- łuszczeń dwubiegunowy, przepalony (ryc. 10:11).

### 2.3. Materiał poleobotaniczny

W analizowanym zespole zidentyfikowano dwa odciski ziarna pszenicy płaskurki (*Triticum diccocum Schrank*) widoczne na wewnętrznej stronie jednego z fragmentów ceramiki z INB <sup>26</sup>.

## II. ZAGADNIENIE HOMOGENICZNOŚCI ZESPOŁU

Dla oceny homogeniczności pozyskanego zbioru źródeł wykorzystano informacje z zakresu: (a) stratygrafii poziomej zalegania materiałów ceramicznych (w tym dystrybucji fragmentów zdobionych) oraz (b) analizy porównawczej cech technologii (nadrzędna płaszczyzna rejestracji danych) i stylistyki (płaszczyzna rejestracji danych podporządkowana technologii) ceramiki naczyniowej z obiektów i „warstwy”.

a. Źródła ceramiczne wystąpiły — jak już wspomniano — generalnie w układzie jednocentrycznym (ryc. 5). Fakt ów może stanowić przesłankę na rzecz homogeniczności zbioru. Dla zweryfikowania wiarygodności tej wstępnej oceny, przeanalizowano sposób dystrybucji fragmentów zdobionych. Stratygrafia horyzontalna tych elementów nie wykazała odrębnych (odseparowanych) stref koncentracji poszczególnych ich typów (ryc. 6a), co skłania do wniosku potwierdzającego względną jednorodność rozpatrywanej kategorii źródeł.

b. Według wyszczególnionych w punkcie 2.11. rozdz. I kryteriów opisu ceramiki (za pomocą parametrów I-IX), dokonano analizy porównawczej cech fragmentów pochodzących z „warstwy” (tj. z różnych jej partii) oraz z obiektów a ściślej — głównie obiektu 23, który jako jedyny spełniał przyjęte wymogi ilościowe (dostateczna ilość fragmentów pochodzących z kilku naczyń) — por. tabela 2.

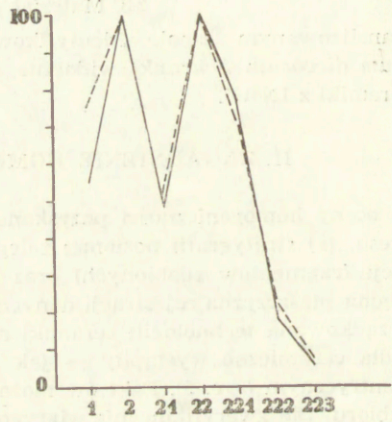
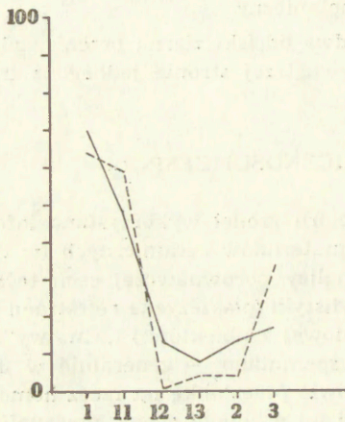
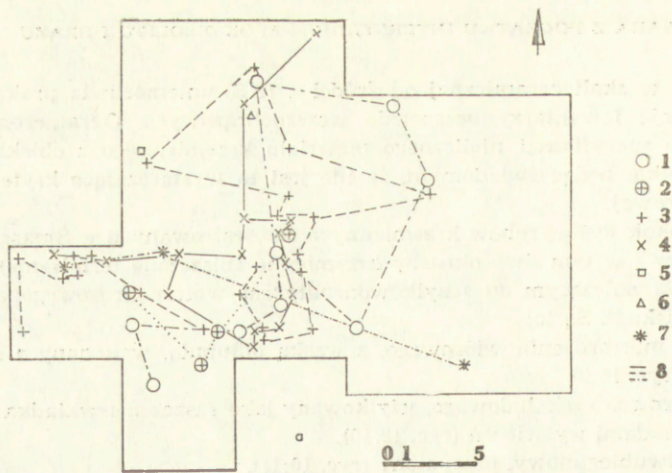
Rezultaty analizy są następujące: na ogólną liczbę 41 stanów cech parametrów szczegółowych (tab. 3), zbieżność uzyskano w przypadku 30 z nich (73,2%), przyjmując za próg zbieżności wartości różnicujące się w skali mniejszej niż 10%. Całkowitą rozbieżność uzyskano natomiast w stosunku do dwu stanów cechy IV (co stanowi 4,8%), przy czym za jej próg przyjęto różnicę wartości wynoszącą powyżej 20%.

Parametr ogólny (IX) posiadał 35 zgeneralizowanych stanów cech (tj. typów technologicznych II stopnia — tab. 2). W tym przypadku kryterium zbieżności stanowiła obecność, bądź brak tych samych ttls. Ponadto założono, że obecność ta nie może być jedynie „śladowa”, lecz w obu porównywalnych przypadkach winna wynosić

<sup>25</sup> Analizę tychże wyrobów krzemienych wykonał mgr J. Czebreszuk.

<sup>26</sup> Analizę paleobotaniczną wykonał prof. dr hab. K. Latowski z Instytutu Biologii UAM.





Ryc. 6. (a). Dystrybucja zdobionych fragmentów ceramiki tj. wątków zdobniczych: 1 — odcisk palcowy, 2 — listwa plastyczna dołkowana, 3 — listwa plastyczna, 4 — odcisk radełkiem, 5 — odcisk sznurem, 6 — ornament ryty, 7 — „dziurka”, 8 — potencjalne „więzi” między zbieżnymi pod względem zdobnictwa fragmentami naczyń

(b). Procentowe zestawienie wartości parametru VIII (barwa przełomu ścianek naczyń):

1 — przełom jednobarwny, 11 — szary, 12 — czarny, 13 — o odcieniach żółto-czerwono-brązowych, 2 — przełom dwubarwny, 3 — przełom nie mieszczący się w definicji żadnego z poprzednich stanów; linia ciągła — „warstwa”, linia przerywana — obiekt 23

(c). Procentowe zestawienie wartości parametru I (rodzaj domieszki):

1 — domieszka organiczna, 2 — domieszka mineralna, 21 — piasku, 22 — tłucznia, 221 — o barwie niejednorodnej, 222 — o barwie białej, 223 — o barwie różowej

Fig. 6. (a) Distribution of the ornamented potsherds, i.e. ornament patterns:

1 — a finger imprint, 2 — a rib with imprints, 3 — a rib, 4 — ornamented with a denticulated wheel, 5 — cord imprint, 6 — engraved ornament, 7 — a „hole”, 8 — potential links between similarly ornamented potsherds

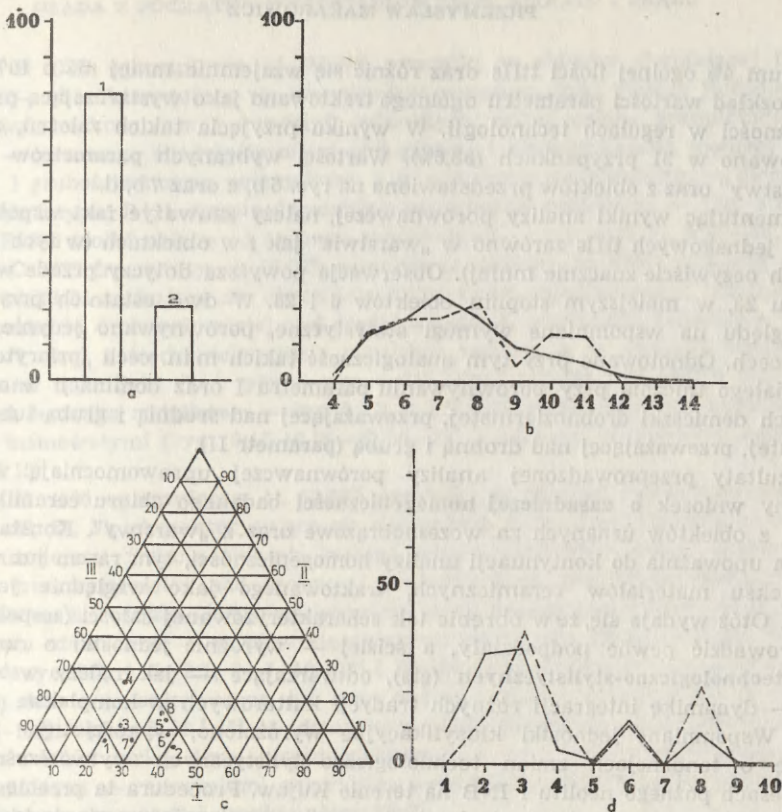
(b) Values of parameter VIII (colour of walls) (in percentage):

1 — one-colour fracture, 11 — grey, 12 — black, 13 — yellow and red and brown shades, 2 — two-colour fracture, 3 — fracture which does not belong to any of the above mentioned categories; continuous line — „the layer”, discontinuous line — feature 23

(c) Values of parameter I (type of admixture) (in percentage):

1. — organic admixture, 2 — mineral admixture, 21 — sand, 22 — stone chippings, 221 — multi-coloured, 222 — white, 223 — pink





Ryc. 7. (a). Procentowe zestawienie ilości fragmentów ceramiki w „warstwie”

1 — w. naturalna Ap, 2 — w. naturalna B

(b). Procentowe zestawienie wartości parametru VI (grubość ścianek naczyń w mm):  
linia ciągła — „warstwa”, linia przerywana — obiekt 23

(c). Relacje udziału poszczególnych klas grubości ścianek naczyń:

(1°: 4–6 mm, 2°: 7–9 mm, 3°: 10 mm i więcej) ze Smarglina 53 (8) na tle struktur schyłkowo-neolitycznych i wczesnobrązowych z: Chlewisk 56 (1), Chlewisk 70 (2), Jezuckiej Strugi 17 (3), Liszkowic 24 (4), Rybin 14 (5), Smarglina 22 (6) i Smarglina 51 (7). Por. tab. 6

(d). Procentowe zestawienie wartości parametru II (granulometria domieszki):

1 — domieszka drobna (o wielkości ziaren < 1 mm), 2 — dominacja domieszki drobnej z obecnością średniej, 3 — dominacja domieszki drobnej z obecnością średniej i grubej, 4 — dominacja domieszki średniej z obecnością drobnej, 5 — domieszka średnia (o wielkości ziaren od 1 do 2 mm), 6 — dominacja domieszki średniej z obecnością drobnej i grubej, 7 — dominacja domieszki średniej z obecnością grubej, 8 — dominacja domieszki grubej z obecnością drobnej i średniej, 9 — dominacja domieszki grubej z obecnością średniej, 10 — domieszka gruba (o wielkości ziaren ponad 2 mm)

Fig. 7. (a) Amount of potsherds in the „layer” (in percentage):

1 — layer naturaln Ap, 2 — layer natural B

continuous line — „the layer”, discontinuous line — feature 23

(b) Values of parameter VI (thickness of vessel walls in mm) (in percentage):

continuous line — „the layer”, discontinuous line — feature 23

(c) Percentage of particular categories of vessel wall thickness — the relation between vessels from Smarglin 53:

(1: 4–6 mm, 2: 7–9 mm, 3: 10 mm and more) and Late Neolithic and Early Bronze structures from: Chlewiska 56 (1), Chlewiska 70 (2), Jezucka Struga 17 (3), Liszkowice 24 (4), Rybin 14 (5), Smarglin 22 (6), Smarglin 51 (7). Compare: table 6

(d) Values of parameter II (granulation of the admixture) (in percentage):

1 — fine admixture (grains < 1 mm), 2 — prevalence of fine admixture with some medium admixture, 3 — prevalence of fine admixture with some medium and coarse admixture, 4 — prevalence of medium admixture with some fine admixture, 5 — medium admixture (1–2 mm grains), 6 — prevalence of medium admixture with some coarse admixture, 8 — prevalence of coarse admixture with some fine and medium admixture, 9 — prevalence of coarse admixture with some medium admixture, 10 — coarse admixture (grains larger than 2 mm)



minimum 4% ogólnej ilości tIIIs oraz różnić się wzajemnie mniej niż o 10%. Każdy inny rozkład wartości parametru ogólnego traktowano jako wystarczającą przesłankę rozbieżności w regułach technologii. W wyniku przyjęcia takich założeń, zbieżność odnotowano w 31 przypadkach (88,6%). Wartości wybranych parametrów ceramiki z „warstwy” oraz z obiektów przedstawiono na ryc. 6 b, c oraz 7 b, d.

Komentując wyniki analizy porównawczej, należy zauważyć fakt współwystępowania jednakowych tIIIs zarówno w „warstwie” jak i w obiektach (w tych ostatnich jest ich oczywiście znacznie mniej). Obserwacja powyższa dotyczy przede wszystkim obiektu 23, w mniejszym stopniu obiektów 6 i 28. W dwu ostatnich przypadkach, ze względu na wspomniane wymogi statystyczne, porównywano jedynie niektóre stany cech. Odnotowano przy tym analogiczność takich m.in. cech „priorytetowych”, jak: białego tłucznia przy porównywaniu parametru I oraz dominacji w obu przypadkach domieszki drobnziarnistej, przeważającej nad średnią i grubą lub średnioziarnistej, przeważającej nad drobną i grubą (parametr II).

Rezultaty przeprowadzonej analizy porównawczej uprawomocniają wysunięty wstępny wniosek o **zasadniczej homogeniczności** badanego zbioru ceramiki pochodzącej z obiektów uznanych za wczesnobrązowe oraz z „warstwy”. Konstatacja powyższa upoważnia do kontynuacji analizy homogeniczności, tym razem już wewnątrz kompleksu materiałów ceramicznych, traktowanego jako względnie jednorodna całość. Otóż wydaje się, że w obrębie tak scharakteryzowanej całości (zespołu) można przeprowadzić pewne podpodziały, a ściślej — wyróżnić jednostki o randze tzw. grup **technologiczno-stylistycznych** (gts), odtwarzające — jak należy wstępnie sądzić — dynamikę integracji różnych tradycji kulturowych w kompleksie smarglińskim. Wspomniane jednostki klasyfikacyjne wyróżniono, wykorzystując określoną wiedzę o tendencjach zmian technologiczno-stylistycznych wytwórczości naczyń w okresach późnego neolitu i INB na terenie Kujaw. Procedura ta przebiega w dwu etapach: pierwszym — stricte „technologicznym”, ograniczającym się do identyfikacji tIIIs (a więc określenia parametrów ogólnego — generalizującego i grupującego zarazem parametry szczegółowe), co już uczyniono w rozdziale I. 221 oraz drugim — polegającym na przypisaniu każdego wyróżnionego tIIIs do jednostek wyższego rzędu, charakteryzujących się względnie stałymi regułami technologicznymi. Ponieważ do owych jednostek klasyfikacyjnych zostały dołączone również cechy stylistyczne (makromorfologiczne i zdobnicze), stały się więc one szerszymi zbiorami danych, dla których zaproponowano ternim grup technologiczno-stylistycznych.

Kierując się powyższymi zasadami, 17 zidentyfikowanych wcześniej (por. tab. 2) w zespole smarglińskim tIIIs zaliczono do 4 gts:

Gts A (63 fragmenty ceramiki w zbiorze, tj. 6,22%) konstytuowanej w aspekcie technologicznym przez tIIIs nr 7, 8, 12—15 oraz fragmenty ceramiki, które udało się przyporządkować bezpośrednio (według istniejącego już schematu technologicznego<sup>27</sup>) do KAK (w tym przypadku odstąpiono od opisywania ich za pomocą tIIIs), a ściślej do grupy typologicznej IIIA-2 egz., podgrup technologicznych IIB1-24 egz. i IIB2-13 egz. oraz generalnie do grupy III-2 egz. Ogólnie charakteryzują się one obecnością znacznej ilości domieszki tłucznia różowego, bądź różnobarwnego (z przewagą tłucznia różowego), przewagą domieszki gruboziarnistej (powyżej 2 mm) nad średnioziarnistą (od 1 mm do 2 mm), przełomem warstewkowym, lub gruzełkowatym, grubościennością (powyżej 9 mm) i średniościennością (od 7 do 9 mm) naczyń; w aspekcie stylistycznym: elementem zdobniczym typu J-121 (dwudzielny sznur) w układzie pionowym (ryc. 8:10). Nadto trzeba wspomnieć o wątku, którego genezę wiązać należy bezspornie z KAK (ryc. 10:4), choć z technologicznego punktu widzenia fragment ceramiki z tymże wątkiem reprezentuje strukturę wczesnobrązową, co też było powodem usytuowania go w obrębie gts D.

<sup>27</sup> M. Szmyt 1990.



Gts B (313 egzemplarzy, tj. 30,87% ceramiki w zbiorze) skupiającej tIIIs nr 21, 23, 25 — charakteryzujące się stosowaniem znacznej ilości białego tłucznia, przełomem warstewkowym i (rzadziej) jednolitym, zróżnicowaną granulometrią domieszki — przewagą średnioziarnistej nad grubo- i drobnoziarnistą (poniżej 1 mm), średnio- i grubościennością pojemników, a w wymiarze stylistycznym — elementami zdobniczymi typu J-121 (sznur dwudzielny w układzie poziomym — ryc. 8:24) oraz R-231 i R-236 (dołki palcowe i palcowo-paznokciowe — ryc. 8:12, 17, 9:13—18, 20—27).

Gts C (132 fragmenty, tj. 12,03% ceramiki w zbiorze), na którą składają się tIIIs nr 5, 17, 18, 28, 35 cechujące się obecnością dużej ilości różnobarwnego tłucznia, przewagą domieszki drobnoziarnistej nad średnioziarnistą, przełomem jednolitym, cienko- (poniżej 7 mm) i średniościennością (rzadziej) naczyń, a w aspekcie zdobniczym: elementami typu B-18 (kął ryty — ryc. 8:11) oraz B-00016 i M-000176 (kął i linia odciskana techniką radełkową — ryc. 8:1, 3, 9; 9:2, 8, 9) w zakresie mikromorfologii — uchami taśmowatymi (ryc. 8:13, 16, 18—20, 26—28) i nóżkami (pojedynczy egzemplarz — ryc. 8:15).

Gts D (506 egzemplarzy, tj. 50,88% ceramiki w zbiorze) konstytuowanej przez tIIIs nr 29, 30, 31, charakteryzujące się obecnością dużej ilości tłucznia różnobarwnego i (mniejszą) frakcją tłucznia białego, często skaolinizowanego, przewagą domieszki średnioziarnistej nad drobno- i gruboziarnistą, przełomem jednolitym lub warstewkowym, średnio- i grubościennością oraz rzadko cienkościennością naczyń: w zakresie zdobnictwa — współwystępowaniem elementów typu B-00016 i M-000176 (por. jw., ryc. 8:2, 4, 5; 9:1, 3—7, 10—12) i M-180 (listwa plastyczna pozioma — 8:22, 23; 10:2) oraz wzmiankowanym już przy okazji charakteryzowania gts A wątkiem typu xJ-121[191]:3 | xB-18 | xH-96 (dwudzielny zwielokrotniony sznur festonowy, ryty kął oraz odciski rurką, tzw. „ptasim piórkiem” — ryc. 10:4), a w aspekcie makromorfologicznym — naczyniami zakwalifikowanymi do grup typologicznych: amfor (ryc. 8:6), wraz (ryc. 10:1) i garnków (ryc. 10:7).

Najważniejsze cechy technologiczne wyszczególnionych gts, którym nadano uprzednio (rozd. I. 2.11. priorytetową rangę w identyfikacji poszczególnych komponentów kulturowych rejestrowanych w Smarglinie, zaprezentowano na ryc. 11.

Scharakteryzowane grupy technologiczno-stylistyczne stanowić będą podstawę dla formułowania szerszych ocen kulturowo-chronologiczno-genetycznych rozpatrywanego zespołu, przedstawionych w rozdziale III.

### III. IDENTYFIKACJA KULTUROWO-CHRONOLOGICZNA. PRÓBA REKONSTRUKCJI GENEZY ZESPOŁU SMARGLIŃSKIEGO

Dotychczasowe ustalenia analityczne dostarczają szeregu informacji, które wykorzystane w celach porównawczych mogą określić generalnie pozycję chronologiczną najbardziej dystynktywnych cech technologiczno-stylistycznych smarglińskich materiałów ceramicznych na tle względnie reprezentatywnej próby kilku różnych zespołów z późnego neolitu oraz INB.

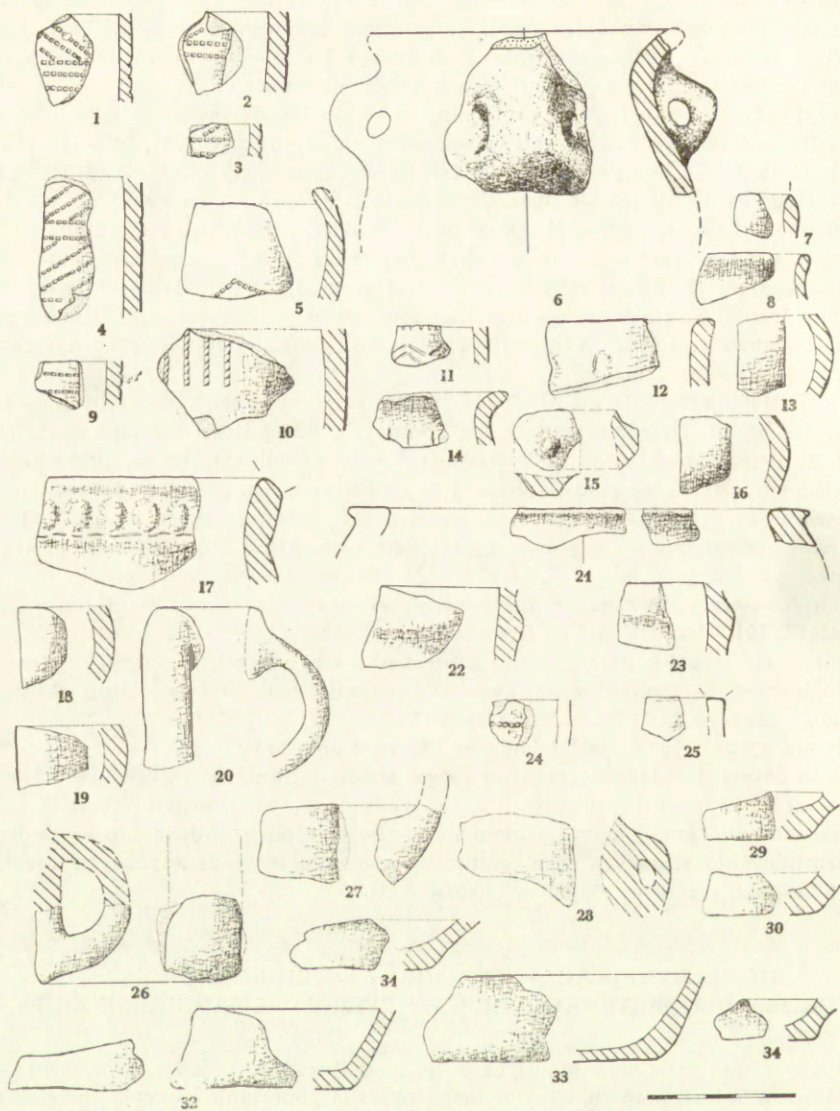
W celu dokonania analizy porównawczej z materiałami z kilku innych stanowisk późnoneolityczno-wczesnobrazowych (por. tab. 6—8), obliczono najważniejsze wskaźniki<sup>28</sup>, opisujące strukturę zdobnictwa ceramiki naczyniowej ze Smarglina 53.

1. Wskaźnik intensywności zdobnictwa — 4,80%

2. Wskaźniki skomplikowania zdobnictwa:

2a. Stosunek odrębnych elementów zdobniczych użytych w budowie wątków wieloelementowych do liczby wątków jednoelementowych  $\times 100 = 16,66\%$

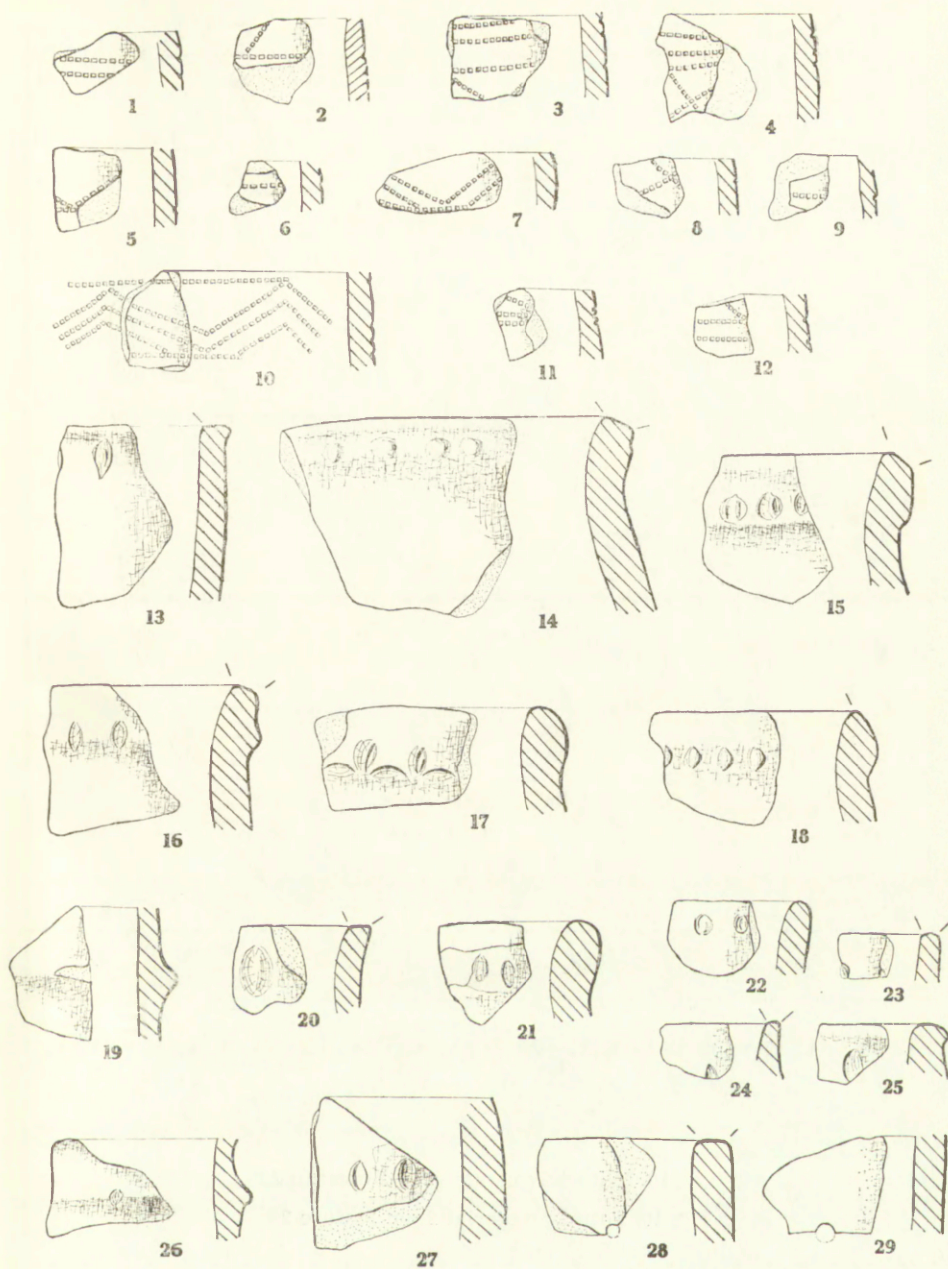
<sup>28</sup> A. Kośko 1981, s. 57 n.



Ryc. 8 i 9. Materiały ceramiczne z „warstwy”

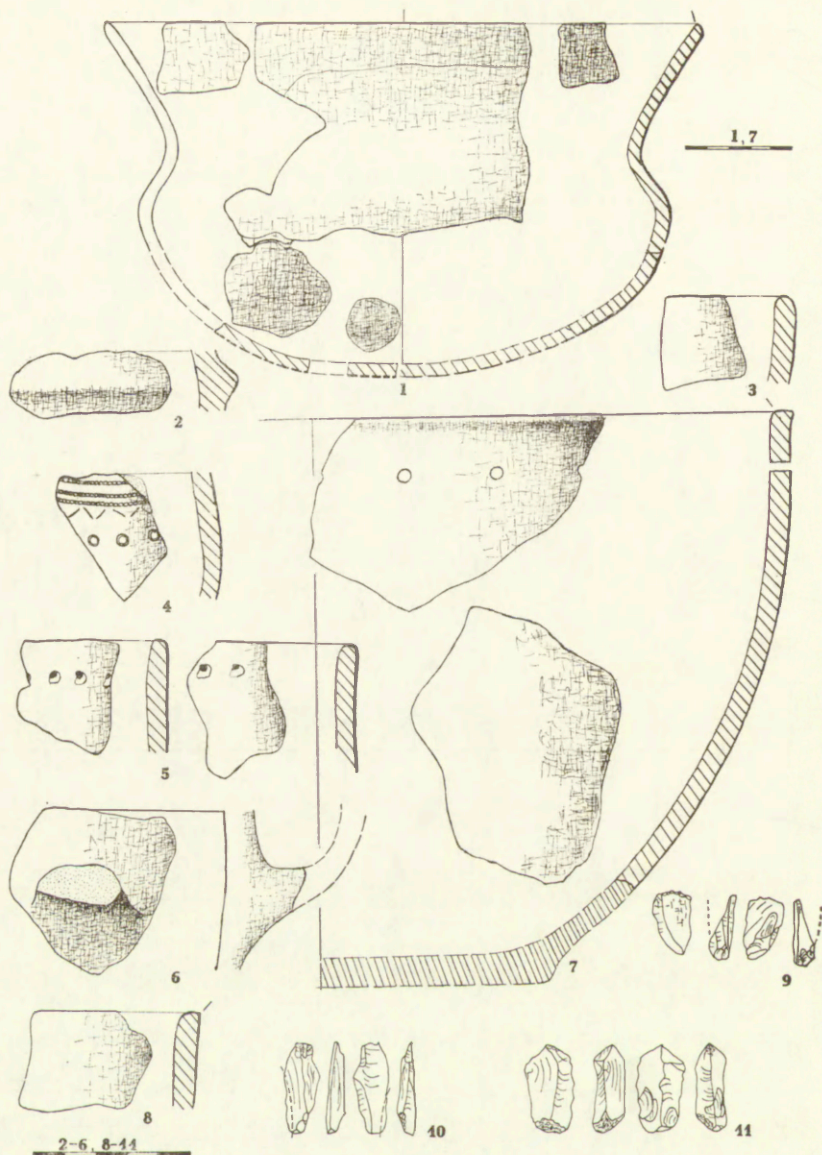
Fig. 8—9. Pottery material from „the layer”





Ryc. 8 i 9. Materiały ceramiczne i „warstwy”

Fig. 8—9. Pottery material from „the layer”



Ryc. 10. Materiały ceramiczne z obiektu 23

Fig. 10. Pottery material from feature 23



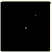



























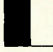


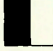



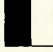
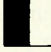

Ryc. 11. Charakterystyka cech technologicznych gts:

1 — cecha bezwzględnie dominująca, 2 — cecha przeważająca, 3 — cecha wyraźna, 4 — cecha śladowa

Fig. 11. Technological characteristic gts:

1 — absolutely dominant characteristic, 2 — prevailing characteristic, 3 — distinct characteristic, 4 — trace characteristic



cechy technologiczne	gts	A	B	C	D
<b>RODZAJ DOMIESZKI</b>					
- tłuszcz różnobarwny					
- tłuszcz biały					
- tłuszcz różowy					
<b>GRANULOMETRIA DOMIESZKI</b>					
- drobnoziarnista					
- średnioziarnista					
- gruboziarnista					
<b>ILOŚĆ DOMIESZKI</b>					
- mała					
- duża					
<b>CHARAKTER PRZEŁOMU</b>					
- jednolity					
- warstewkowy					
- gruzełkowy					
<b>GRUBOŚĆ ŚCIANEK</b>					
- cienkościemność					
- średniościemność					
- grubościemność					



1



2



3



4



2b. Stosunek liczby wątków wieloelementowych do liczby wątków jednoelementowych  $\times 100 = 63,88\%$

2c. Procent wątków ponad jednoelementowych = 37,93%

2d. Stosunek liczby elementów zdobniczych do liczby faktów zdobniczych  $\times 100 = 23,29\%$

3a. Procent wątków nadkrawędnych = 0

3b. Procent wątków podkrawędnych zewnętrznych = 28,81%

3c. Procent wątków podkrawędnych wewnętrznych = 0

3d. Procent wątków brzuścowych = 30,50%

3e. Procent wątków usznych = 0

4a. Procent elementów zdobniczych wykonanych z zastosowaniem techniki odciskania-nacinania (w tym techniki radełkowej) = 70,66%

4b. Procent elementów zdobniczych wykonanych z zastosowaniem techniki rycia — bruzdowej = 2,17%

4c. Procent elementów zdobniczych wykonanych z zastosowaniem techniki plastycznej = 27,17%

Analizę przeprowadzono na trzech płaszczyznach: technologicznej (porównanie trzech klas grubości ścianek naczyń), mikromorfologicznej (porównanie typów krawędzi) oraz zdobniczej (porównanie wskaźników określających specyfikę zdobnictwa). Wyniki owej analizy przedstawione w tabelach 6, 7, i 8 można interpretować następująco.

Otóż jeżeli chodzi o porównanie klas grubości ścianek naczyń (tab. 6), zespół wykazuje w kategoriach 1<sup>o</sup> (do 6 mm grubości) tendencję wzrostu w stosunku do obiektów „amforowych”: ze Smarglina 51,<sup>29</sup> Chlewisk 56, Jezuickiej Strugi 17 i Liszkowic 24, zbliżając się do wartości odnotowanych w zespołach wczesnobrązowych z Chlewisk 70 i Smarglina 22 oraz zbieżną z zespołem z Rybin 14. W kategorii 2<sup>o</sup> (od 7 do 9 mm grubości) analizowany kompleks wykazuje tendencję spadkową w stosunku do zespołów KAK i niemal równorzędne wartości jak w obiektach z INB. W kategorii 3<sup>o</sup> (powyżej 9 mm grubości) sytuacja jest bardziej skomplikowana, bowiem występują tu istotne różnice w stosunku do zespołów „amforowych” i wczesnobrązowych (oprócz „klasyczo-późnoiwięńskich”<sup>30</sup> Rybin 14). Powyższą tendencję zobrazowano graficznie w ramach skróconego algorytmu datowania technologicznego<sup>31</sup> (por. ryc. 7 c).

Kolejny zakres analityczny dotyczył porównania dwu wybranych (statystycznie najliczniejszych) grup krawędzi o typach zwieńczeń k (tabl. 7). Pierwsza grupa, liczna w zespole smarglińskim jest praktycznie nieobecna w kompleksach związanych z KAK, natomiast czytelna w zespołach z wczesnej epoki brązu. Grupa druga, również liczna w materiałach ze Smarglina 53, wykazuje większą zbieżność z zespołami wczesnobrązowymi niżli „amforowymi”.

Trudniejsze do zinterpretowania — w skali porównawczej — są wartości smarglińskich wskaźników zdobniczych (tab. 8). Wskaźnik 1 komunikuje o stosunkowo niskim współczynniku zdobień, mniejszym niż w zespołach należących do KAK i względnie równorzędnym z tymże wskaźnikiem w kompleksie z INB w Dębach 29. Wskaźnik 2 wskazuje na znaczny stopień skomplikowania zdobnictwa ceramiki badanego obiektu (zwłaszcza wskaźniki 2 b i 2 c), przy użyciu raczej niewielkiej ilości odrębnych elementów zdobniczych (wskaźniki 2 a i 2 d). Analiza porównawcza wskaźników 2 b i 2 c ukazuje generalnie wzrost ich frekwencji w stosunku do zespołów „amforowych” i zdecydowaną przewagę procentową pod tym względem nad kompleksami z młodszego odcinka wczesnej epoki brązu (Rybiny 14, Goszczewo 14) natomiast względnie zbliżone wartości do zespołu wczesnej KI z Dębów 29. Wskaźnik 2 a —

<sup>29</sup> Por. komentarz pod tabelą 6.

<sup>30</sup> A. Koško 1979, s. 86.

<sup>31</sup> L. Czerniak, A. Koško 1980. <http://rcin.org.pl>



Tabela 6. Frekwencja klas grubości ścianek naczyń ze Smarglina, stan. 53 na tle porównawczym

Stanowisko kultura (faza)	Smarglin 53	Smarglin 51 KAK (II b)	Jezuicka Struga KAK (III a)/ III b)	Liszko- wice 24 KAK III a/ III b)	Chlewis- ka 56 KAK (III b)	Smarglin 22 KCH-V i epi- KCSZ	Chlewiska 70 KI (I)+el. KCH-V? i gru- py Kruzki KCSZ	Rypiny 14 KI (II b- -III a)
Klasy grubości ścianek	1	2	3	4	5	6	7	8
(1°) do 6 mm	33,0%	29,2%	23,1%	17,3%	21,3%	38,3%	41,7%	35,4%
(2°) 7—9 mm	51,5%	64,7%	65,4%	56,8%	72,7%	53,4%	54,3%	52,0%
(3°) 10 i więcej mm	15,5%	6,1%	11,5%	25,9%	6,0%	8,3%	4,0%	12,6%

M. Szmyt 1985 (poz. 3 i 4); P. Makarowicz 1989 (poz. 8). Pozostałe dane przygotowane do druku przez M. Szmyt (poz. 2) i J. Czebre-szuka (poz. 5, 6 i 7). Autor dziękuje serdecznie za ich wcześniejsze udostępnienie.

KCH — kultura Chłpice-Veselé

KI — kultura iwieńska

KCSz — kultura ceramiki sznurowej

Tabela 7. Typy krawędzi wylewu naczyń ze Smarglina, stan. 53 na tle porównawczym (wybór)

Stanowisko kultura (faza)	Smarglin 53	Tarkowo 23 KAK (II b)	Tarkowo 31 KAK (II b/III a)	Liszskowice 24 KAK (III a/ III b)	Smarglin 22 KCH-V i epi- KCSZ	Goszczewo 14 Grupa Gosz- czewska	Rypiny KI (II b- III a)
Typy krawędzi	1	2	3	4	5	6	7
1k	15,38%	9,09%	8,89%	1,96%	12,0%	7,56%	19,7%
10e	28,85%	—	—	—	10,0%	3,36%	12,4%
10k	5,77%	—	2,22%	1,96%	6,0%	3,36%	2,92%
17k	7,69%	—	—	—	—	6,72%	11,68%
49e	5,77%	—	—	—	—	4,20%	—

Wg. M. Szmyt 1985 (poz. 2—4), J. Czebrezsuka 1987, 1990 (poz. 5 i 6), P. Makarowicza 1989 (poz. 7).

Tabela 8. Zdobnictwo ceramiki ze Smarglina,

Wskazniki	Stanowisko kultura (faza)	Smarglin 53	Jaszczołtowo 10 KAK (II b)	Tarkowo 23 KAK (II b)	Tarkowo 30 KAK (II b)
		1	2	3	4
1		4,8%	7,1%	5,8%	8,5%
2a		16,66%	26,7%	36,4%	35,3%
2b		63,88%	44,2%	42,4%	35,3%
2c		37,93%	29,0%	30,2%	22,6%
2d		23,29%	19,9%	27,9%	36,1%
3a		—	3,8%	—	—
3b		28,81%	55,8%	47,4%	59,1%
3c		—	—	—	—
3d		30,5%	40,3%	52,6%	40,9%
3e		—	—	—	—
4a		70,66%	66,7%	57,9%	72,7%
4b		2,17%	21,7%	15,5%	9,1%
4c		27,17%	12,1%	26,3%	27,3%

Wg M. Szmyt 1985 (poz. 2—7), M. Szmyt, J. Czebreszuka 1991 (poz. 8), J. Czebres

ogólnie ujmując — jest niższy w porównaniu z zespołami KAK i ewoluuje w kierunku kompleksów wczesnobrązowych z Goszczewa 14 i Rybin 14, jednakże znacznie różni się frekwencją względem zespołu z Dębów 29. Interpretacja porównawcza wartości wskaźnika 2 d wydaje się mniej poznawczo istotna, gdyż brak w tym przypadku w miarę czytelnej tendencji zmian (nawiązanie zarówno do niektórych wcześniejszych zespołów KAK, jak i materiałów pochodzących z INB (wskaźnik 3, a ściślej 3 b i 3 d), dotyczący sposobu dystrybucji wątków w poszczególnych strefach naczyń, obrazuje tendencję spadkową w stosunku do zespołów KAK, zmierzającą ku wartościom wskaźników charakterystycznych dla zespołów z wczesnej epoki brązu, choć czytelna jest tu zasadnicza rozbieżność tychże wartości. Wskaźnik 4, określający rodzaj stosowanych technik można — z dużym stopniem ostrożności interpretować jako bliski tradycji zespołów KAK, czy też szerzej ujmując — kompleksów o wyraźnych cechach późnoneolitycznych, w których dominują techniki nacinania-odciskania i — w mniejszym stopniu plastyczna, jak np. w niektórych zespołach „późnosnurowych”<sup>32</sup> nie ujętych w tejsze analizie — ze względu na brak konkretnych danych.

<sup>32</sup> J. Beran 1990; E. Strahl 1990.



stan. 53 na tle porównawczym

Tarkowo 49 KAK (II b)	Tarkowo 31 KAK (II b/ III a)	Liszkwice 24 KAK (III a/III b)	Dęby 29 KI (I)	Goszcze- wo 14 Grupa Gosz- czewska	Rybinsy 14 KI (II b- III a)
5	6	7	8	9	10
7,6%	6,4%	8,0%	5,11%	5,94%	8,45%
20,0%	26,3%	10,5%	66,67%	7,14%	4,96%
38,6%	16,3%	15,8%	58,33%	10,71%	12,05%
29,3%	15,1%	13,2%	44,44%	9,68%	10,76%
15,0%	28,8%	14,3%	40,74%	26,47%	7,38%
—	—	—	5,56%	—	1,69%
37,5%	59,2%	51,8%	11,11%	12,9%	6,12%
—	—	—	—	—	—
62,5%	37,0%	48,2%	77,78%	16,12%	5,44%
—	3,2%	—	—	—	—
73,7%	78,9%	72,7%	54,54%	22,59%	3,71%
10,5%	10,5%	—	27,28%	9,67%	37,03%
21,0%	26,3%	45,4%	27,28%	67,74%	59,26%

zuka 1987 (poz. 9), P. Makarowicza 1989 (poz. 19).

Podsumowując zebrane wyżej rezultaty analizy porównawczej, należy stwierdzić, że zdają się one uzasadniać tezę, iż struktura cech zespołu ze Smarglina 53 zajmuje zasadniczo pozycję odmienną od struktur charakterystycznych dla kompleksów KAK, zbliżając się w kierunku zespołów specyficznych dla wczesnej epoki brązu, często też wykazując z tymi ostatnimi duży stopień zbieżności.

#### A. Identyfikacja kulturowo-chronologiczna.

Właściwym celem tego rozdziału jest próba „precyzyjnego” określenia pozycji kulturowej i czasowo-przestrzennej wyróżnionych uprzednio 4 grup technologiczno-stylistycznych, a tym samym sformułowanie — w oparciu o dotychczasowe dane (wyniki testu homogeniczności i rezultaty analizy porównawczej) — wiarygodnej odpowiedzi na kluczowe pytanie:

— czym z perspektywy kultury początków epoki brązu jest zespół smargliński?

Rezultaty dotychczasowych analiz upoważniają do wyrażenia opinii, iż najliczniejsza kategoria źródeł (tj. materiały ceramiczne), ujawnia — w ramach generalnie jakościowego zuniformizowania cech — zróżnicowanie w szeregu szczegółowych parametrach (stanach cech), Owo zróżnicowanie reguł wytwórczości ceramiki naczyniowej, pozwalające wyróżnić 4 grupy technologiczno-stylistyczne (interpretowane tutaj jako identyfikatory odmiennych tradycji kulturowych) — stanowi podstawę dla



sformułowania wniosku o **synkretycznym** charakterze także pozostałych nieudokumentowanych źródłowo dziedzin wspólnoty smarglińskiej. Pomocna natomiast może okazać się w tym miejscu określona wiedza pozaźródłowa, dotycząca elementów teorii zmiany kulturowej oraz koncepcji przemian kulturowych w północnej części Europy Środkowej w okresie INB.

Występowanie synkretycznych struktur kulturowych w rejonie zlewni Bachorzy zostało dostrzeżone przez T. Wiślańskiego w latach sześćdziesiątych i określone przez tego badacza mianem tzw. grup mieszanych<sup>33</sup> (zespoły typu Dęby-Krzywosądz). Znaczącą pozycję w odkrytych przez wspomnianego autora formach synkretyzacji posiadają społeczeństwa KAK, dominujące demograficznie na Niżu w okresie późnego i schyłkowego neolitu. KAK, będąc zasadniczym „tłem” dla recepcji różnych napływowych struktur kulturowych (wzorców kulturowych) współformowała z nimi byty, cechujące się pewnymi „anomaliami” rozwoju, a ściślej odbiegające od tzw. czystej (tj. postrzeganej powszechnie za zasadniczą) linii ewolucji tego ugrupowania.

Odkrycie zespołu smarglińskiego nie jest więc ewenementem w tej części Kujaw. Interesująca poziawczo jednak jest — niespotykana dotąd w skali tego mezoregionu — konfiguracja jego komponentów składowych. Analizowane materiały ukazują bowiem wariant synkretyzacji, w której czytelny jest udział trzech tradycji kulturowych: (1) dwu „obcych” w stosunku do terenu Kujaw, tj. KPDZ i KGJ oraz (2) miejscowej reprezentowanej przez czynnik KAK. Zarejestrowano pośród nich także obszerny zbiór źródeł ceramicznych, interpretowanych jako efekt stanu transformacji ogółu wymienionych tradycji kulturowych.

#### 1. KOMPONENT EGZOGENICZNY

Czynnikami obcymi reprezentowanymi w badanym zespole przez grupy technologiczno-stylistyczne B i C są komponenty: KPDZ (gts C) oraz KGJ (gts B).

Cechy pierwszego z nich czytelne są w stylistyce (zdobnictwie i morfologii naczyń), a także technologii wyrobów ceramicznych. Najliczniejszy zestaw identyfikatorów KPDZ ujawnia zdobnictwo. Charakterystyczne są w nim zwłaszcza wątki linii horyzontalnych i kątów, wykonane techniką ściegu radełkowego (kółkiem zębatym<sup>34</sup> — ryc. 8:1—5,9; 9:1—12) oraz rytego zwielokrotnionego kąta (ryc. 8:11). Motywy zdobnicze wykonane tego rodzaju techniką pojawiają się w KPDZ powszechnie na całym okupowanym przez nią terenie<sup>35</sup> po okresie rozwoju pucharów typu All Over Ornamented (zdobionych na całej powierzchni)<sup>36</sup>, tj. w fazie „prawdziwych pucharów”, tzw. pucharów morskich (Maritime Beakers), datowanej w zachodniej prowincji KPDZ, a ściślej nad Dolnym Renem na lata po ok. 2100 do ok. 1900 conv. BC<sup>37</sup>. Istnieją też przesłanki, iż na innych, zajmowanych przez ludność „pucharową” obszarach (zwłaszcza na terenach centralnoeuropejskich) ów wzorec zdobniczy mógł być stosowany w późniejszych odcinkach wczesnej epoki brązu<sup>38</sup>. Zdobnictwo radełkowe, posiadające pierwowzory w tradycji KPDZ, powielane było także przez twórców KGJ<sup>39</sup>, w tym również przez społeczeństwa jej najbardziej na wschód wysuniętego odłamu, w grupy wkrzańskiej kultury ceramiki sznurowej (GW KCSZ)<sup>40</sup>.

<sup>33</sup> T. Wiślański 1966, s. 80 n.

<sup>34</sup> Na temat nazewnictwa tejże techniki: S. E. van der Leeuw 1976, s. 138 R. J. Harrison 1980, s. 19.

<sup>35</sup> Szerzej na ten temat J. Harrison 1980, s. 19 n.; P. Makarowicz, J. Czebreszuk 1994.

<sup>36</sup> J. D. van der Waals 1984, s. 7.

<sup>37</sup> J. D. van der Waals 1984.

<sup>38</sup> I. Rakovský 1985, s. 386.

<sup>39</sup> K. W. Struve 1955.

<sup>40</sup> H. Stange 1978, Taf. 23.



Osobny zbiór źródeł utożsamianych z aktywnością czynnika KPDZ dostarcza technologia wyrobu ceramiki naczyniowej<sup>41</sup>. Chodzi tu zwłaszcza o część naczyń charakteryzujących się cienkościennością, domieszką droбно- i średnioziarnistego tłucznia różnobarwnego i jednolitym przełomem, zapowiadających wczesnobrązowy nurt rozwoju technologii produkcji ceramiki w strefie Kujaw.

Mniej precyzyjnymi chronologicznie identyfikatorami są dane z zakresu makro- i mikromorfologii. W pierwszym przypadku jest to kulistodenna waza (ryc. 10:1), posiadająca analogie w materiałach zachodniej i południowej prowincji KPDZ<sup>42</sup>, w drugim — fragment nóżki (ryc. 8:15) pochodzący najprawdopodobniej z misy — naczynia (misa na nóżkach) charakterystycznego m.in. dla wytwórczości garncarskiej wspólnot „pucharowych”<sup>43</sup>.

Do najważniejszych „wyznaczników” tradycji KGJ należą materiały zakwalifikowane do gts B, zwłaszcza naczynia średniościenne o dużej ilości domieszki białego skaolinizowanego i nieznormalizowanego wielkościowo tłucznia (z przewagą frakcji tłucznia średnioziarnistego) i przełomie warstewkowym. Pośród stylistycznych wyróżników KGJ wymienić należy wątki dołków palcowych i palcowo-paznokciowych, niekiedy odciskanych na listwach plastycznych horyzontalnych (ryc. 8:12, 17; 9:13—18, 20—27) oraz dwudzielnego sznura horyzontalnego (ryc. 8:24)<sup>44</sup>.

Możliwość ścisłego datowania wspomnianego układu cech są bardzo niskie, gdyż opisane reguły technologiczno-stylistyczne charakteryzują stosunkowo długotrwały odcinek rozwoju północnoeuropejskich ugrupowań kręgu „sznurowego” (KGJ), zwłaszcza późną fazę rozwoju (koniec III i początek II tys. conv. BC) tychże formacji<sup>45</sup>.

Podsumowując pozycję taksonomiczną obu czynników pozamiejscowych trzeba wyraźnie zaznaczyć, że o ile w aspekcie analitycznym są one możliwe do rozróżnienia (głównie w wymiarze ilościowym — vide gts B i C), o tyle z perspektywy konkretnych ugrupowań mogą one być w znacznej mierze tożsame, tzn. mogą reprezentować model kultury posługującej się wzorcami „pucharowymi” w środowisku sznurowym. Takie synkretyczne wspólnoty mogły egzystować zwłaszcza w rejonach: Maklemburgii (np. Plöwen, kr. Pasewalk<sup>46</sup>; Techentin, Kr. Ludwigslust<sup>47?</sup>) i Turyngii (np. Grabe, Kr. Mühlhausen<sup>48</sup>, Großeutersdorf-Eichenberg, Kr. Jena<sup>49</sup>, Mühlhausen, Kr. loco<sup>50</sup>; Orlamünde, Kr. Jena<sup>51</sup>; Wangenheim, Alte Kiesgrube<sup>52</sup>). Ponadto analogie formalnie zbieżne ze smarglińską stylistyką odnotować można na terenach zachodniej części Brandenburgii (rejon Bez. Magdeburg, np. Biederitz?<sup>53</sup>, Elbeu<sup>54</sup>, Gerwisch<sup>55</sup>, Uenlingen<sup>56</sup>, Wahlitz<sup>57</sup>, Forslaben<sup>58</sup>), Dolnej Saksonii (np. Sievern i Uthlede, Kr. Cuxhaven;

<sup>41</sup> Na temat technologii ceramiki KPDZ S. E. van der Leeuw 1976.

<sup>42</sup> J. Soares, C. Tavares da Silva 1984, s. 216, Fig. 2; J. L'Helgouach 1984, s. 78. Fig. 4; R. J. Harrison 1980.

<sup>43</sup> Np. E. Sangmeister 1964, 1984, s. 95, Abb. 6.

<sup>44</sup> H. Behrens 1969, s. 144 n.

<sup>45</sup> K. W. Struve 1955; G. Neumann 1969; H. Behrens 1969.

<sup>46</sup> H. Stange 1978, Taf. 23.

<sup>47</sup> E. Nagel 1986, s. 7 n.

<sup>48</sup> W. Walther, D. Walter, J. Schulze 1985, s. 211, Abb. 3.

<sup>49</sup> G. Neumann 1969, s. 133, Abb. 2.

<sup>50</sup> Por. przypis 48.

<sup>51</sup> G. Neumann 1969, s. 136 Abb. 4.

<sup>52</sup> D. W. Müller 1980, s. 148, Abb. 19.

<sup>53</sup> J. Beran 1990, s. 145, Taf. 5.

<sup>54</sup> J. Beran 1990, s. 147, Taf. 7.

<sup>55</sup> J. Beran 1990, s. 150—156, Taf. 10—16.

<sup>56</sup> J. Beran 1990, s. 174, Taf. 34.

<sup>57</sup> J. Beran 1990, s. 176 Taf. 36.

<sup>58</sup> J. Beran 1990, s. 180, Taf. 40.



Schwiederstorf, Tangendorf, Bütligen, Kr. Harburg; Bühlstedt, Ehesdorf, Kr. Rotenburg; Holtebüttel i Benkel, Kr. Verden<sup>59</sup>) oraz na stanowisku Hamburg-Boberg<sup>60</sup>.

## 2. KOMPONENT ENDOGENICZNY

Czynnik miejscowy — mezoregionalny — reprezentuje w badanym kompleksie gts A, łączona z KAK oraz gts D(?), interpretowana jako smargliński efekt stanu transformacji cech trzech wymienionych wcześniej tradycji kulturowych.

Cechy KAK w Smarglinie 53 są równie czytelne jak elementy KPZD. Ukazują je materiały należące do grs A, głównie naczynia średnio- i grubościenne, z domieszką gruboziarnistego tłucznia różowego, o warstewkowym lub gruzelkowatym przełomie. Uboższe wydają się informacje z zakresu zdobnictwa, ograniczające się do pojedynczego odcisku, zwielokrotnionego sznura zarejestrowanego na fragmencie o technologii grupy IIIA1 KAK<sup>61</sup> (ryc. 8:10) oraz innego motywu: „sznurowo-ryto-odciskanego” (potrójny feston, kąt i „ptasie piórko” — ryc. 10:4), który jednakże, jak już wcześniej zaznaczono, zaliczono do gts D, mając na uwadze jego „dysharmonię” stylistyczno-technologiczną.

Wymieniony wątek można datować najpóźniej na przełom faz IIIa i IIIb KAK, tj. mówiącostrójnie na horyzont wokół 2000 conv. BC lub później. Fakt, iż wystąpił on na fragmencie ceramiki o technologii zapowiadającej nurt wczesnobrazowy (drobny tłuczeń różnobarwny) sprawia, że z większym prawdopodobieństwem można mówić o przełomie faz IIIa/IIIb (ok. 2000—1900 conv. BC)<sup>62</sup>

Najliczniejszy zbiór źródeł stanowią materiały, które można interpretować jako lokalny(?) efekt procesu syntezy (transformacji) w „jedną” całość (gts D) reguł zachowań kulturowych tradycji KPDZ-KGJ oraz KAK. Synkretyzm cech rejestrowany jest w formie współwystępowania na tych samych fragmentach naczyń: — wątków charakterystycznych dla KAK, technologii natomiast „wczesnobrazowej” (domieszka drobnoziarnistego tłucznia różnobarwnego, jednolity charakter uwarstwienia przełomu, cienkościennosc — ryc. 10:4), — wątków dystynktywnych KPDZ (wykonanych techniką radełkową), technologii natomiast specyficznej dla KGJ (nieznormalizowany wielkościowo biały skaolinizowany tłuczeń — ryc. 8:2, 4, 5; 9:1, 3—7, 10—12), — naczyń typologicznie zbliżonych do pojemników KPDZ (amfora?, waza), technologii natomiast stosowanej w środowisku KGJ (jw. ryc. 8:6; 10:1).

Z perspektywy oglądu całości materiałów ceramicznych zespołu smarglińskiego wydaje się, że ostatni z charakteryzowanych komponentów (gts) reprezentuje pod względem taksonomicznym najbardziej niejako klasyczną postać tego zespołu, tzn. taką, która odzwierciedla fakt „skomunikowania się” czynników pozamiejscowych (KPDZ-KGJ) i miejscowych (KAK).

Podsumowując, należy stwierdzić, że datowanie zespołu 53 ze Smarglina dokonane poprzez uytuowanie głównych jego cech w ramach systemów chronologicznych KPDZ i (pośrednio) KPDZ/KGJ oraz KAK, inaczej mówiąc poprzez identyfikację czasową prawzorców tych cech w ich układach pierwotnych, wsparte o określenie chronologii elementów autochtonicznych, pozwala umiejscowić analizowany kompleks osadniczy w okresie obejmującym początek II tys. conv. BC, najprawdopodobniej w latach 1950—1850/1800 conv. BC.

Początki INB na Kujawach, w tym także w rejonie Piasków Krzywosądkich są okresem wzmoczonych procesów przekształceń neolitycznego modelu osadnictwa<sup>63</sup>.

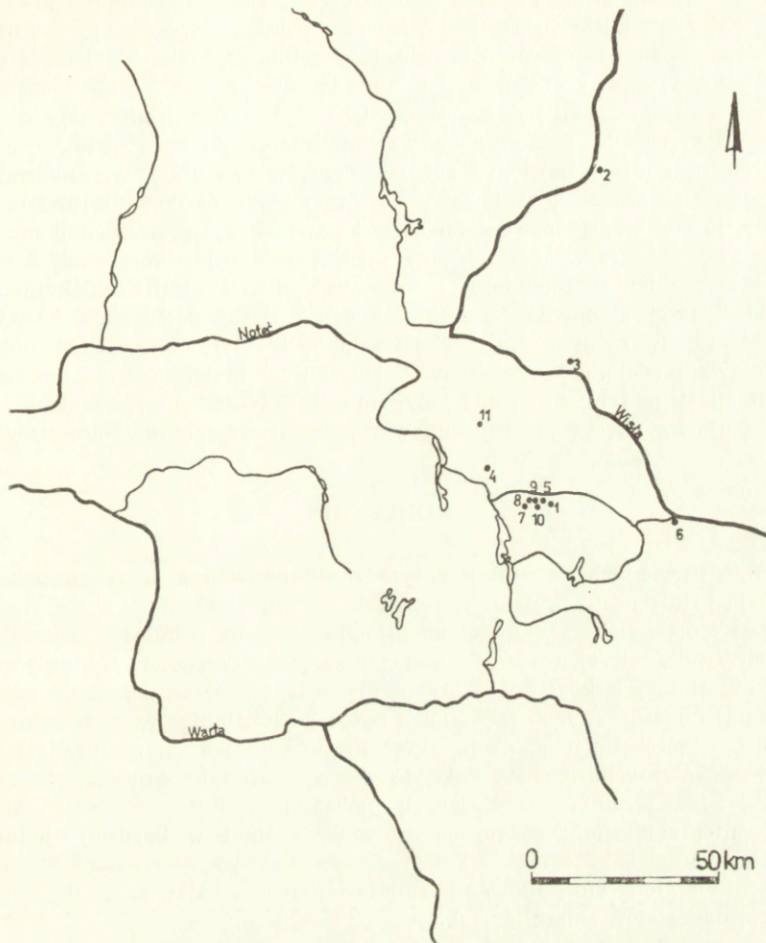
<sup>59</sup> E. Strahl 1990, Taf. 5, 6, 20, 27, 28, 36, 37, 40, 110, 111.

<sup>60</sup> K. H. Struve 1995, Taf. 22.

<sup>61</sup> M. Szmyt 1990, s. 86, ryc. 1.

<sup>62</sup> L. Czerniak, M. Szmyt 1990, s. 78.





Ryc. 12. Dystrybucja kujawsko-chełmińskich stanowisk, na których odnotowano ceramikę radełkową:

- (1) Dęby, gm. Dobre, stan. 29, (2) Gogolin, gm. Grudziądz, stan. 7, (3) Grębocin, ob. Toruń, stan. 3, (4) Krusza Zamkowa, gm. Inowrocław, stan. 3, (5) Krzywosądz, gm. Dobre, stan. 3, (6) Potok, gm. Włocławek, stan. 1, (7) Smarglin, gm. Dobre, stan. 39, (8) Smarglin, gm. Dobre, stan. 49, (9) Smarglin, gm. Dobre, stan. 51, (10) Smarglin, gm. Dobre, stan. 53, (11) Stara Wieś, gm. Rojewo, stan. 9A (Wg A. Bokiniec 1987, P. Makarowicz, J. Czebreszuk 1994)

Fig. 12. Distribution of Kujavian-Chełm sites, on which pottery ornamented with a denticulated wheel was found:

- (1) Dęby, Dobre commune, site 29, (2) Gogolin, Grudziądz commune, site 7, (3) Grębocin near Toruń, site 3, (4) Krusza Zamkowa, Inowrocław commune, site 3, (5) Krzywosądz, Dobre commune, site 3, (6) Potok, Włocławek commune, site 1, (7) Smarglin, Dobre commune, site 39, (8) Smarglin, Dobre commune, site 49, (9) Smarglin, Dobre commune, site 51, (10) Smarglin, Dobre commune, site 53, (11) Stara Wieś, Rojewo commune, site 9A (After A. Bokiniec 1987; P. Makarowicz, J. Czebreszuk 1994)



Zjawisko to uwidacznia się m.in. w postaci częstej redukcji wielkości oraz rozproszeniu punktów osadniczych. Drugą, przytaczaną już na wstępie, symptomatyczną regułą kulturową komentowanego okresu, szczególnie czytelną w rejonie środkowej Bachorzy, stanowi fakt zgrupowania na tym terenie szeregu punktów osadniczych, na których (często w skali jednego stanowiska) rejestrowano materiały o zbieżnej chronologii, genetycznie jednak obce wewnątrzmezoregionalnej rytmice przemian kulturowych, pochodzące bowiem z różnych centrów cywilizacji wczesnobrązowej<sup>64</sup>.

Umiejscawiając zespół smargliński na tak zarysowanym tle kulturowym, stwierdzić należy, iż pod względem recepcji cech o „zachodniej” proveniencji nie jest on na terenie Piasków Krzywosądzkich oraz — szerzej — kujawsko-chełmińskiej strefy osadniczej zjawiskiem odosobnionym. We wspomnianej strefie udokumentowano bowiem 10 dalszych stanowisk (ryc. 12), z czego 7 w rejonie Piasków Krzywosądzkich, na których (w różnym kontekście) wystąpiły identyfikatory KPDZ lub KPDZ-KGJ<sup>65</sup> (głównie zdobnictwo radełkowe). Unikalność materiałów ze Smarglina 53 polega natomiast na tym, że są one jedynym (jak dotychczas) dowodem na istnienie w rejonie Kujaw synkretycznych ugrupowań „pucharowo-sznurowo-amforowych”.

### ZAKOŃCZENIE

Ogół przedstawionych w niniejszym artykule danych, a także propozycji ich identyfikacji i interpretacji, istotnie dowartościowuje koncepcje kulturotwórczych oddziaływań społeczeństw kręgu północno-zachodniego na populację kujawsko-chełmińskiej strefy osadniczej, czy też — mówiąc szerzej — środowisko kulturowe Niżu Polski w okresie początków epoki brązu. Promuje zwłaszcza znaczenie czynników KPDZ/KGJ w genezie nowych jakościowo bytów, o lokalnej — w znacznym stopniu — specyfice, które często trudno scharakteryzować unikając pułapki licznych rozgraniczeń taksonomicznych. Sądzić należy, iż w zespołach typu Smarglin 53 rejestrujemy jedną ze struktur poprzedzających powstanie kultury iwieńskiej, tj. stanu względnej integracji wielu różnogenetycznych wspólnot w bardziej ujednolicony, ponadlokalny kompleks.

Kończąc, należałoby sformułować postulaty badawcze, pojawiające się w związku z publikacją materiałów smarglińskich.

Podstawowa trudność wszechstronnej rekonstrukcji zjawisk typu Smarglin 53 wynika z niekompletności i fragmentaryczności źródeł materialno-przedmiotowych rejestrowanych na stanowiskach osadowych z początku INB na Kujawach, zwłaszcza tych, które sytuowane były w środowisku gleb piaszczystych i bielicowych (np. w rejonie Piasków Krzywosądzkich). Ów charakterystyczny rys — cząstkowości substancji źródłowej — narzuca na obecnym etapie badań, metodę analityki i (pośrednio) interpretacji pozyskanych materiałów. Wydaje się, że w sytuacji tak znacznych ograniczeń konieczne staje się całościowe opracowanie — w celach porównawczych — materiałów z innych stanowisk o podobnej złożoności strukturalnej, co mogłoby wyeliminować w przyszłości konieczność rozpatrywania analogicznych zjawisk jako wyizolowanych, jednostkowych przypadków.

*Instytut Prahistorii UAM  
w Poznaniu*

<sup>63</sup> A. Koško 1979.

<sup>64</sup> J. Czebreszuk 1988 A, 1988 B; A. Koško 1988.

<sup>65</sup> P. Makarowicz, J. Czebreszuk 1994.



## BIBLIOGRAFIA

- Behrens H.  
1969 *Westliche Einflüsse bzw. Einflüsse der Glockenbecherkultur bei den Becherkulturen der DDR* [w:] *Die neolithischen Becherkulturen im Gebiet der DDR und ihre europäischen Beziehungen*, s. 142—154, Berlin.
- Behrens H. und Schlette F. (red.)  
1969 *Die neolithischen Becherkulturen im Gebiet der DDR und ihre europäischen Beziehungen*, Berlin.
- Beran J.  
1990 *Funde der Einzelgrabkultur im Bezirk Magdeburg*, Halle.
- Bokinić A.  
*Schyłkowy neolit i wczesny okres epoki brązu na Ziemi Chełmińskiej* [w:] *Neolit i początki epoki brązu na Ziemi Chełmińskiej*, s. 121—128, Toruń.
- Chmielewski W., Kostrzewski J., Jażdżewski K.  
1965 *Pradzieje Polski*, Wrocław.
- Cofta-Broniewska A. (red.)  
1988 *Kontakty pradziejowych społeczeństw Kujaw z innymi ludami Europy*, Inowrocław.
- Cofta-Broniewska A. (red.)  
1990 *Kultura amfor kulistych w rejonie Kujaw*, Poznań.
- Czebreszuk J.  
1987 *Osada z połowy II tys. p.n.e. w Goszczewie, gm. Aleksandrów Kuj., woj. wrocławskie, stan. 14*, *Folia Praehistorica Posnaniensia*, II, s. 199—238.  
1988 A „Leśno” — wschodnioeuropejski komponent kulturowy w rozwoju schyłkowoneolitycznych społeczeństw Kujaw, [w:] *Kontakty pradziejowych społeczeństw Kujaw z innymi ludami Europy*.  
1988 B *Wpływy społeczeństw Kotliny Karpackiej na procesy integracji kulturowej w okresie BB-BD na Kujawach*, [w:] *Kontakty pradziejowych społeczeństw Kujaw z innymi ludami Europy*.  
1990 *Późny horyzont kultury amfor kulistych a inne struktury kulturowe interstadium epok neolitu i brązu. Zagadnienie dezintegracji systemu* [w:] *Kultura amfor kulistych w rejonie Kujaw*, s. 149—176.
- Czebreszuk J., Makarowicz P.  
1990 *Badania osadnictwa kultury amfor kulistych w rejonie zlewni środkowej Bachorzy* [w:] *Kultura amfor kulistych w rejonie Kujaw*, s. 301—327.
- Czerniak L., Kośko A.  
1980 *Zagadnienie efektywności poznawczej analizy chronologicznej ceramiki na podstawie cech technologicznych. Z problematyki badań nad „datowaniem technologicznym” ceramiki kultur neolitycznych w strefie Kujaw*, *APolski*, t. XXV, s. 247—279.
- Czerniak L., Szmyt M.  
1990 *Z badań nad periodyzacją rozwoju kultury amfor kulistych* [w:] *Kultura amfor kulistych w rejonie Kujaw*, s. 53—78.
- Guilaine J. (red.)  
1984 *L'age du cuivre européen. Civilisations a vases campaniformes*, Paris.
- Harrison R. J.  
1980 *The Beaker Folk*, London.
- L'Helgouach J.  
1984 *Le groupe campaniforme dans le Nord, le Centre et l'Ouest de la*

- France. [w:] *L'age du cuivre européen. Civilisation a vases campaniformes*, s. 59—69.
- Informator Archeologiczny 1984, 1985, 1989.
- Jażdżewski K.  
1937 *Ślady kultury pucharów dzwonowatych na Kujawach*, ZOW, t. 12, s. 83—94.
- Kośko A.  
1979 *Rozwój kulturowy społeczeństw Kujaw w okresach schyłkowego neolitu i wczesnej epoki brązu*, Poznań.  
1981 *Udział południowo-wschodnioeuropejskich wzorców kulturowych w rozwoju niżowych społeczeństw kultury pucharów lejkwatych*, Poznań.  
1988 *Rozwoju kultury społeczeństw w okresach późnego neolitu oraz interstadium epok neolitu i brązu w aspekcie recepcji egzogennych wzorców kulturotwórczych*, [w:] *Kontakty pradziejowych społeczeństw Kujaw z innymi ludami Europy*, s. 145—183.
- Lanting J. N., Van der Waals J. D. (red.)  
1976 *Glockenbecher Symposium Oberried 1974*, Bassum/Haarlem.
- Machnik J.  
1978 *Kultura iwieńska* [w:] *Prahistoria Ziemi Polskiej*, t. III, s. 118—128, Wrocław.
- Makarowicz P.  
1989 *Osada ludności kultury iwieńskiej w Rybinach, gm. Topólka, woj. wrocławskie, stan. 14*, Inowrocław.
- Makarowicz P., Czebreszuk J.  
1994 (oddano do druku): *Ze studiów nad kulturą pucharów dzwonowatych w zachodniej części Nizy Polskiej*, *Folia Praehistorica Posnaniensia*.
- Müller D. W.  
1980 *Die Ur- und Frühgeschichte Besiedlung des Gothaer Landes, Alt-Türingen*, t. XVII, s. 19—180.
- Nagel E.  
1987 *Die spätneolithischen Funde von Fundplatz 5 in Techentin, Kreis Ludwigslust, Bodenkmalpflege in Mecklenburg, Band 34*, s. 7—18.
- Neumann G.  
1969 *Die Glockenbecherkultur im Spiegel einer thüringischer Siedlungsplätze* [w:] *Die neolitischen Becherkulturen im Gebiet der DDR und ihre europäischen Beziehungen*, s. 131—142.
- Rakovský I.  
1985 *Sidliste kultury zvoncovitých poháru v Holubicích*, AR, XXXVII, 4, s. 377—392.
- Sarnowska W.  
1969, 1975 *Kultura unietycka w Polsce*, t. I i II, Wrocław.
- Soares J. et Tavares Da Silva C.  
1984 *Le groupe de Palmada dans le cadre de la céramique campaniforme au Portugal*, [w:] *L'age du cuivre européen. Civilisation a vases campaniformes*, s. 209—220.
- Stange H.  
1978 *Funde der Oderschurkeramik aus Plöwen, Kr. Pasewalk, Ausgrabungen und Funde*, Band 23, s. 123—127.
- Strahl W.  
1990 *Das Endneolithikum im Elb-Weser-Drieck*, t. 3, *Veröffentlichungen der urgeschichtlichen Sammlungen des Landesmuseums zu Hannover* 36, Hannover,



- Struve K. H.  
1955 *Die Einzelgrabkultur in Schleswig-Holstein und ihre kontinentalen Beziehungen, Neumünster.*
- Szmyt M.  
1990 *Stan badań nad zasadami analityki kultury amfor kulistych [w:] Kultura amfor kulistych w rejonie Kujaw, s. 79—86.*
- Szmyt M., Czebreszuk J.  
1991 *Osady ludności neolitycznej i wczesnobrązowej w Dębach, woj. wrocławskie, stan. 29, Poznań-Wrocław.*
- Van der Waals J. D.  
1984 *Bell Beakers in Continental Northwestern Europe, [w:] L'age du cuivre européen. Civilisations a vases campaniformes, s. 3—35.*
- Van der Leeuw S. E.  
1976 *Neolithic Beakers from the Netherlands: the potters point of view, [w:] Glockenbecher Symposium Oberried 1974, s. 1—79.*
- Walther W., Walter D., Schulze J.  
1985 *Endneolithische und frühbronzezeitliche Besiedlung im Gebiet der Notter, Kr. Mühlhausen, Ausgrabungen und Funde 30,5, s. 208—215.*
- Wiślański T.  
1966 *Kultura amfor kulistych w Polsce Północno-zachodniej, Wrocław.*  
1987 (red.) *Neolit i początki epoki brązu na Ziemi Chełmińskiej, Toruń.*
- Wiśniewski E.  
1974 *Dolina Bachorzy — problem jej genezy i znaczenia w okresie wczesnośredniowiecznym, Przegląd Geograficzny, t. XLVI, z. 2, s. 263—279.*

PRZEMYSŁAW MAKAROWICZ

A SETTLEMENT FROM THE BEGINNING OF THE NEOLITHIC AND BRONZE AGE TRANSITION PERIOD (INB) IN SMARGLIN, WŁOCŁAWEK PROVINCE, SITE 53

On site 53 in Smarglin, the remains of two settlements were found: a settlement of the Funnel Beaker culture from phase II of its development, and a settlement from the beginning of the INB. In this paper we attempt to present monographically the material from the turn of the Neolithic and Bronze Age. The paper consists of three parts: part I, presenting source information and the method of its analysis; part II, discussing the problem of homogeneity of the complex; and, part III, discussing the cultural-chronological and genetic identification of the complex.

Site 53 in Smarglin is located on a low flat upland in the central part of the Bachorza river basin (Figs 1, 2), in a natural glacial trough, which cuts the Kujavian Upland along the E-W axis. The settlement occupies strongly podsolized soils, in the region known as Piaski Krzywosądzkie: it is a zone of particularly intensive settlement of the Neolithic and Early Bronze.

During the three excavation seasons we registered at least 3 INB features (out of 30 noted), whose function was not precisely determined (Figs 3, 4). As far as mobile material sources are concerned, pottery was most exhaustively presented (Tables 1—5, figs 8—11). The remaining sources, as it was impossible to separate unquestionably Early Bronze inventories, were not included (osteological material, stone artifacts, daubed clay); or, if any data allowing for cultural identification were present, the



sources were described (flint artifacts — Fig. 11:9—11<sup>25</sup>), palaeobotanical material — chapter I 2.3.).

The INB sources are generally treated as homogenous (more precisely, they represent the same cultural structure). They are, however, divided into four technological-stylistic pottery groups, identified with particular cultural-genetic components. They comprise a complex syncretic structure with clear exogenous characteristics: of the Bell Beaker structure — figs 8:1—9; 9:1—12; 8:11 in the Maritime Beakers phase (2100—1900 conv. B.C.) according to western period division, and of the Single-Grave culture — the technological and ornamentation characteristics (Figs 8:12, 17; 9:13—18, 20, 27; 8:24) are typical for the late stage of the Northern European groups of the „Corded” cultural circle (the end of the third to the beginning of the second millennium B.C.). The endogenic component is represented by the Globular Amphora culture from the turn of phases IIIa/IIIb, i.e. after 2000 B.C.: it is mainly the technology and stylistics of pottery (Figs 10:3; 8:10), and some sources which show the syncretism of the Bell Beaker, Single Grave and Globular Amphora cultures in the most spectacular way (the technological and stylistic characteristics: figs 10:4; 8:2, 4; 9:1, 3—7, 9—11; 10:1). The chronology of the complex was dated on the basis of the above mentioned characteristics to the beginning of the second millennium conv. B.C., most likely to the years 1950—1850/1800 conv. B.C.

In the paper, the distribution of sites sharing a similar structure of characteristics — Fig. 1 is showed. The region from which the pre-patterns of the exogenous characteristics of this phenomenon originated is identified in the western part of Central Europe (Mecklemburg, Thuringia, Lower Saxony, Schleswig-Holstein, Western Brandenburg — cf chapter III — a list of analogies), where in the end of the third and in the beginning of the second millennium conv. B.C. such syncretic „Bell Beaker and Corded” societies existed. The final cultural transformation of those societies, due to the influence of the Globular Amphora culture, occurred probably in the western part of the Polish Lowland, mainly in the Kujavian-Chełm settlement mesoregion.